

10. ANEXOS

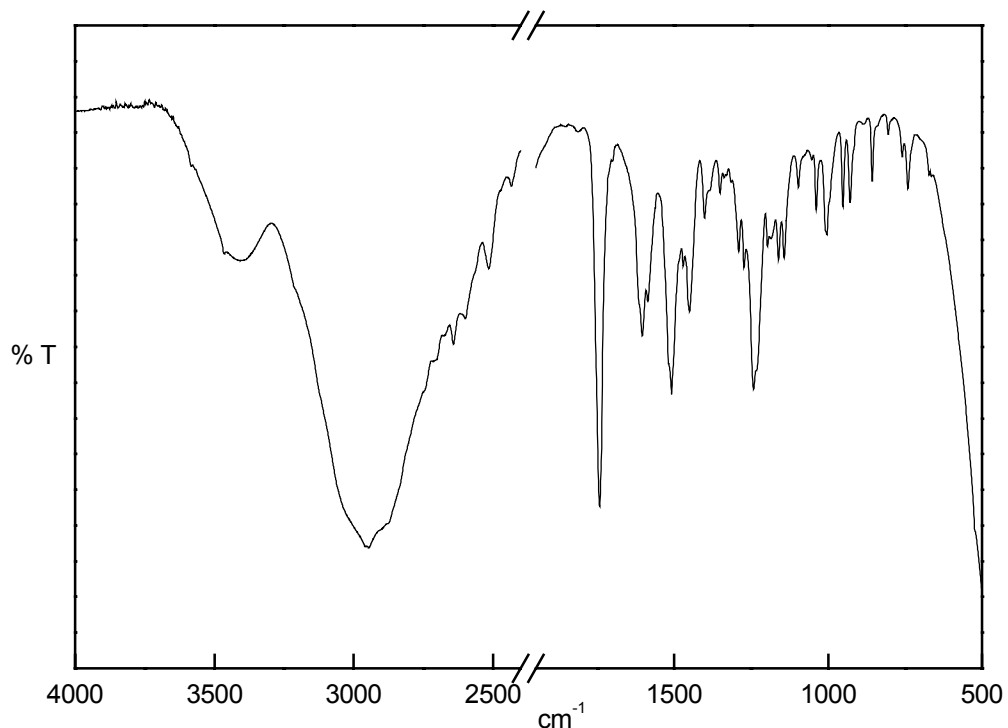
10.1. ESPECTROS DE INFRARROJO DE LOS MONÓMEROS

Figura 10.1. Espectro de infrarrojo del compuesto I.

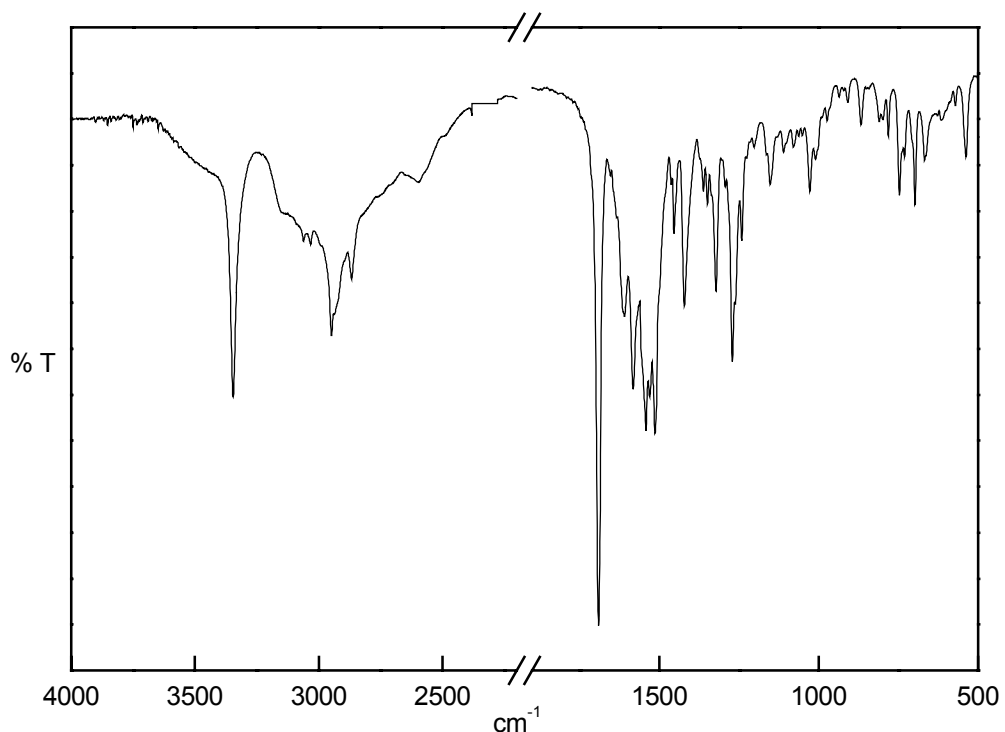


Figura 10.2. Espectro de infrarrojo del compuesto V.

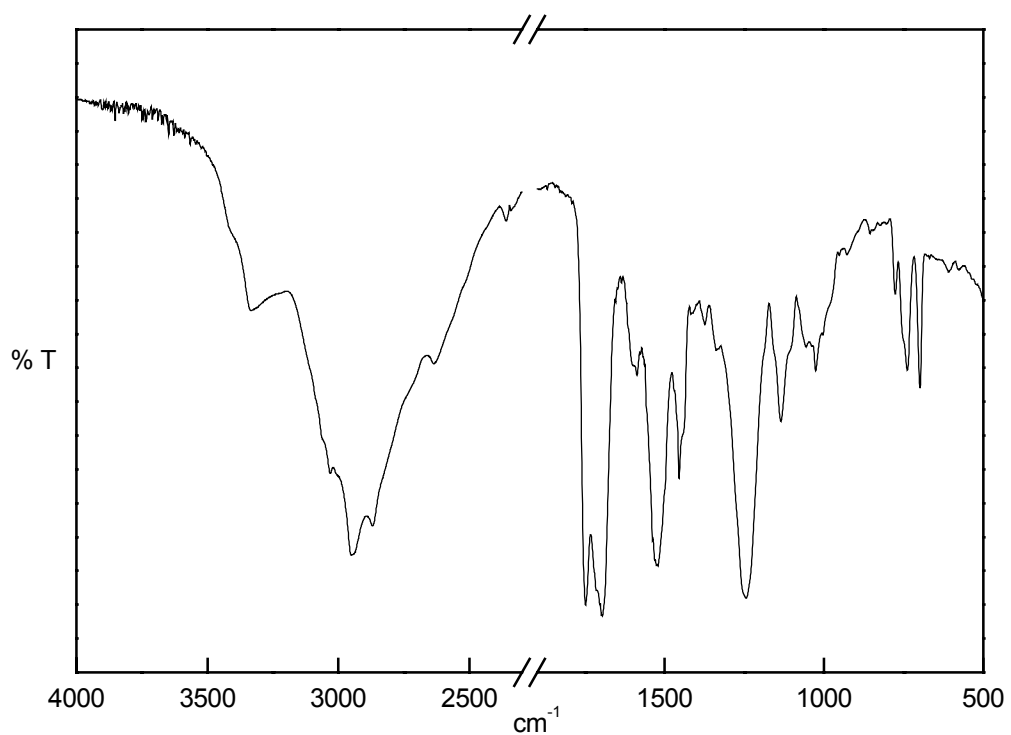


Figura 10.3. Espectro de infrarrojo del compuesto VI.

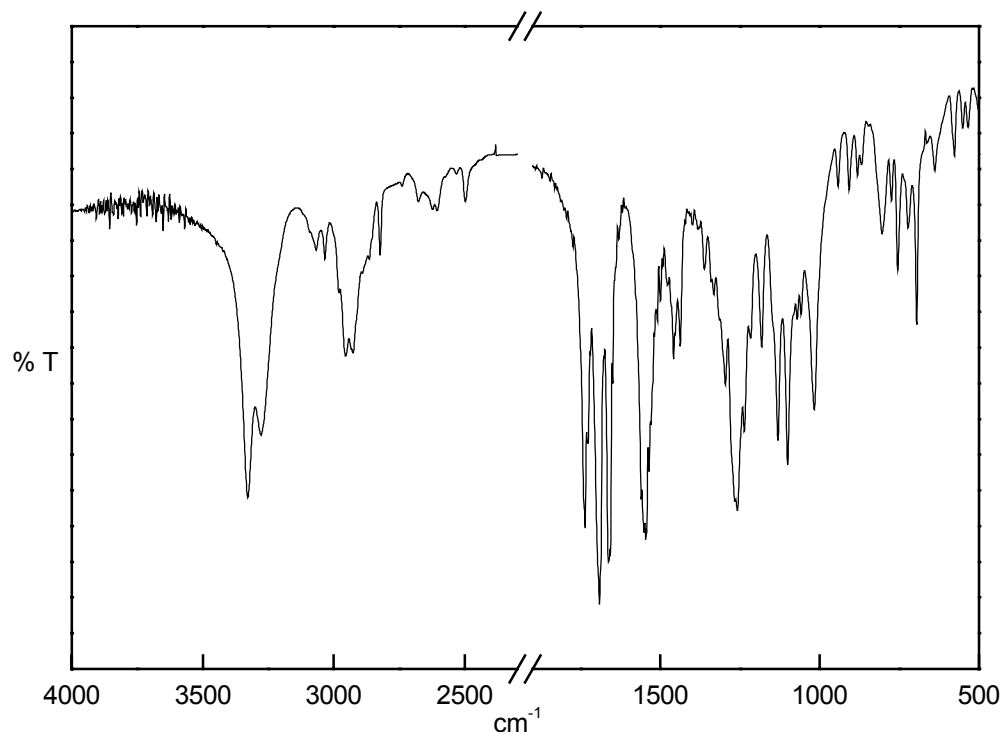


Figura 10.4. Espectro de infrarrojo del compuesto VII-L.

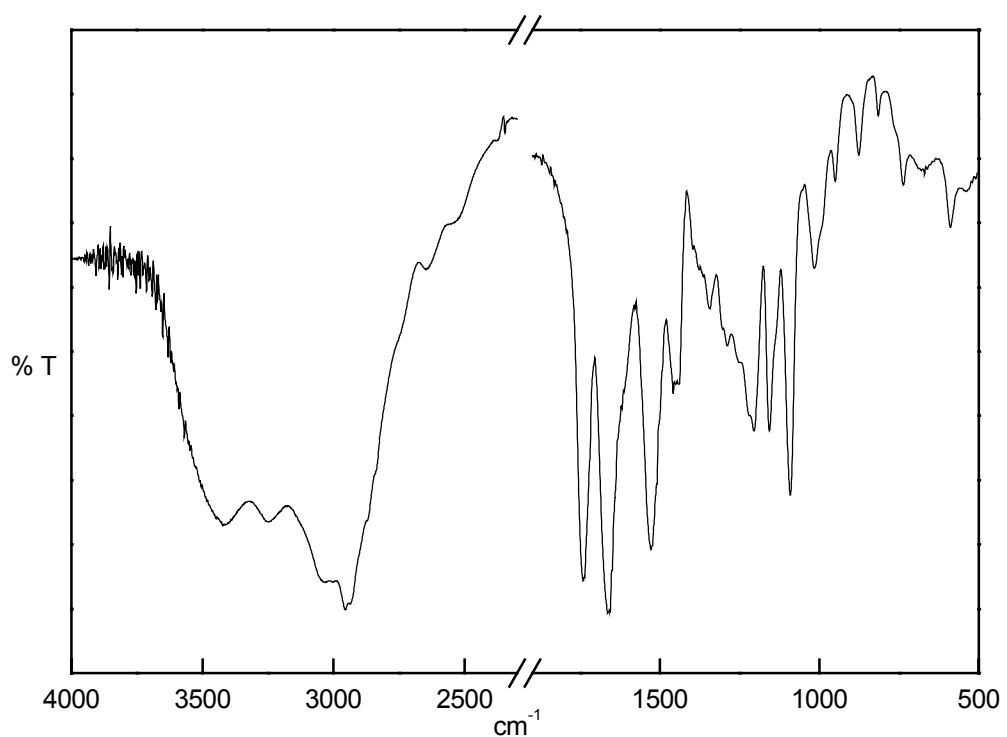


Figura 10.5. Espectro de infrarrojo del compuesto VIII-L.

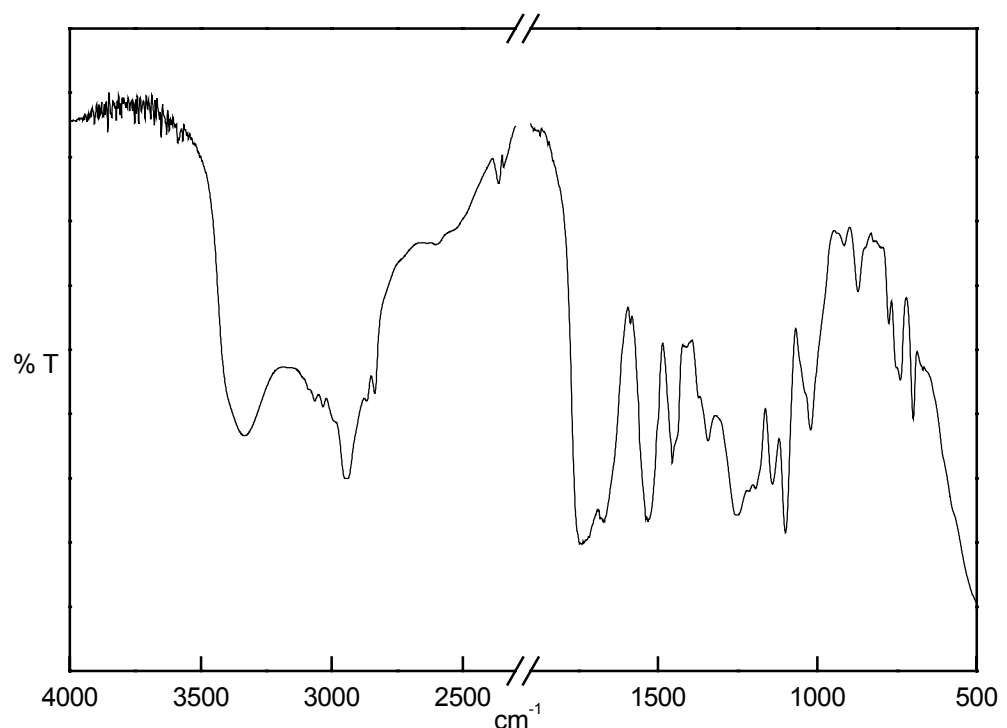


Figura 10.6. Espectro de infrarrojo del compuesto X-L.

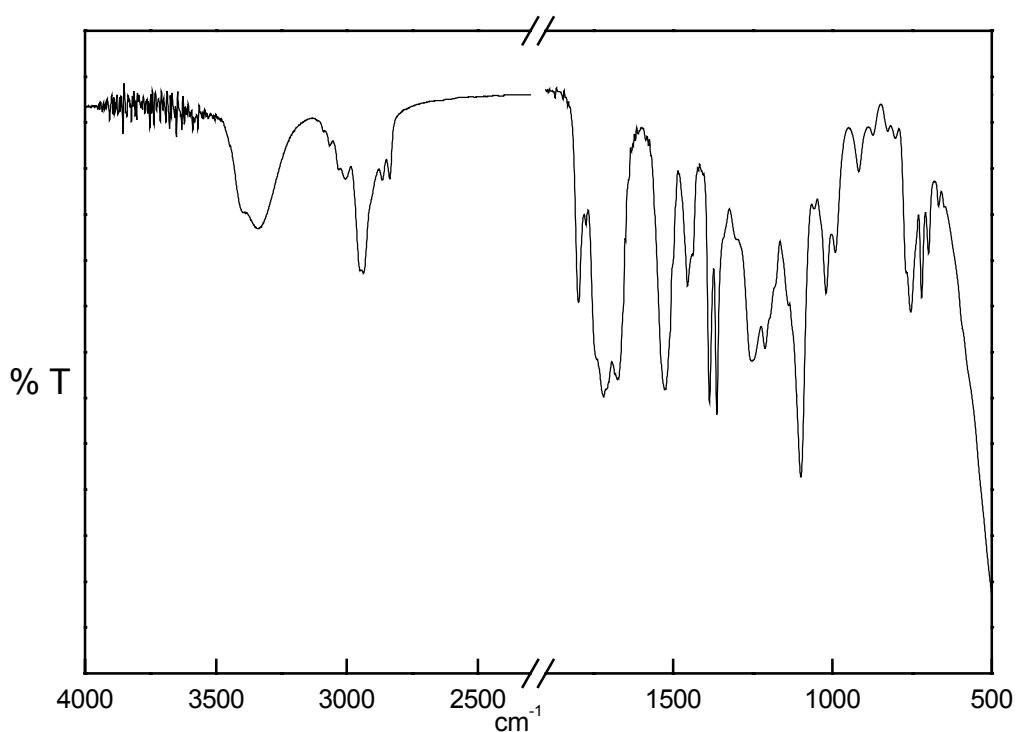


Figura 10.7. Espectro de infrarrojo del compuesto XI-L.

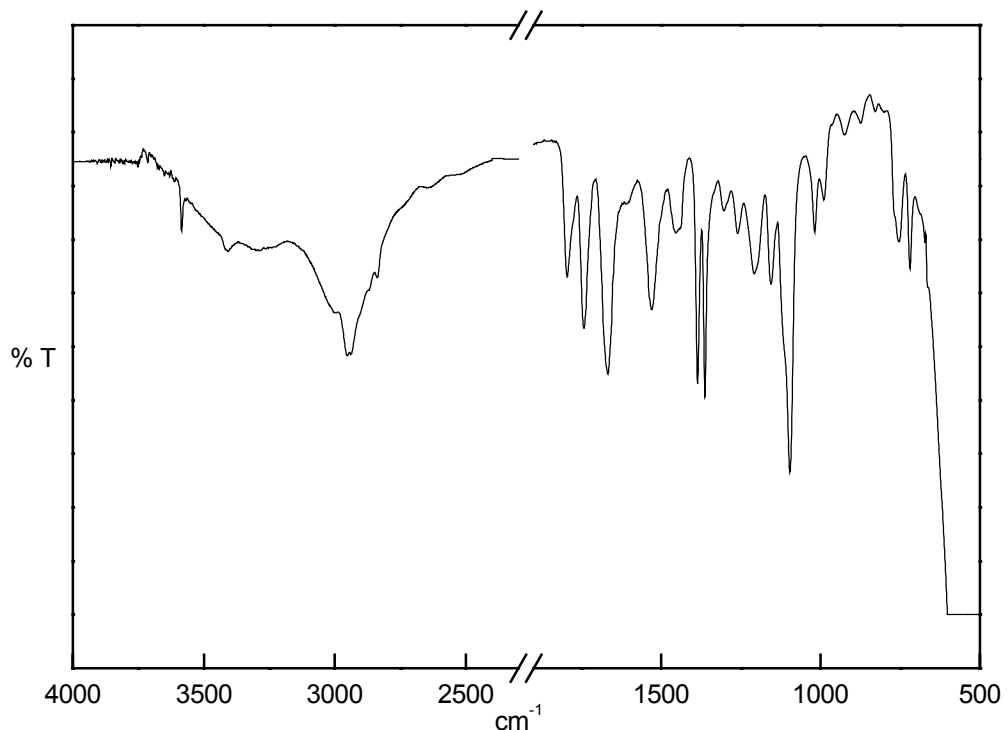


Figura 10.8. Espectro de infrarrojo del compuesto XII-L.

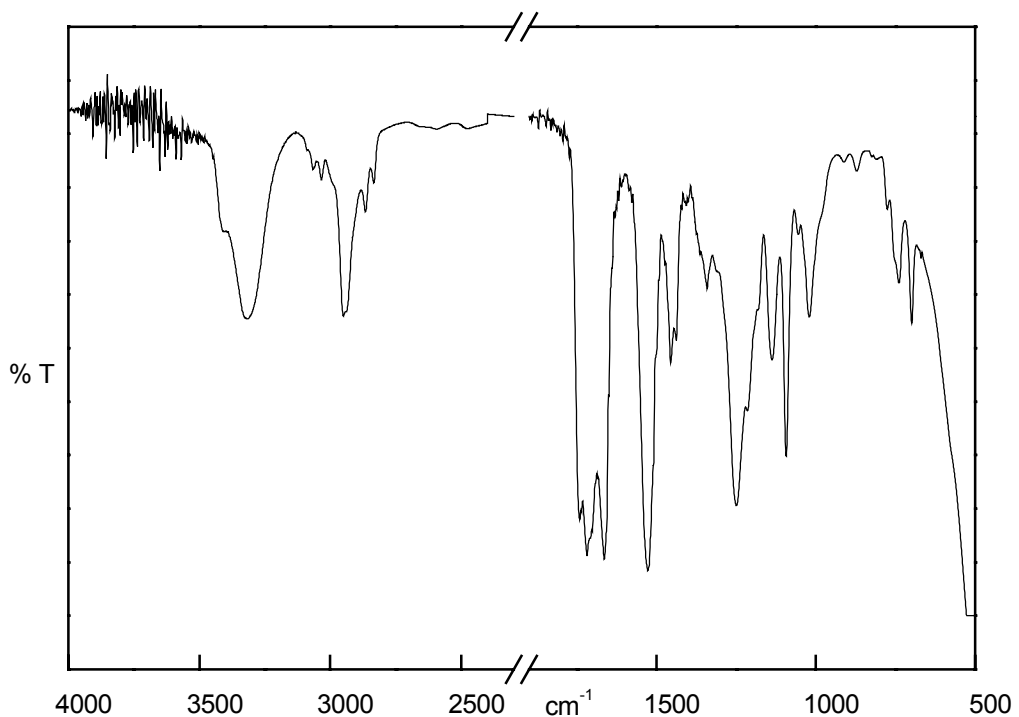


Figura 10.9. Espectro de infrarrojo del compuesto VII-D.

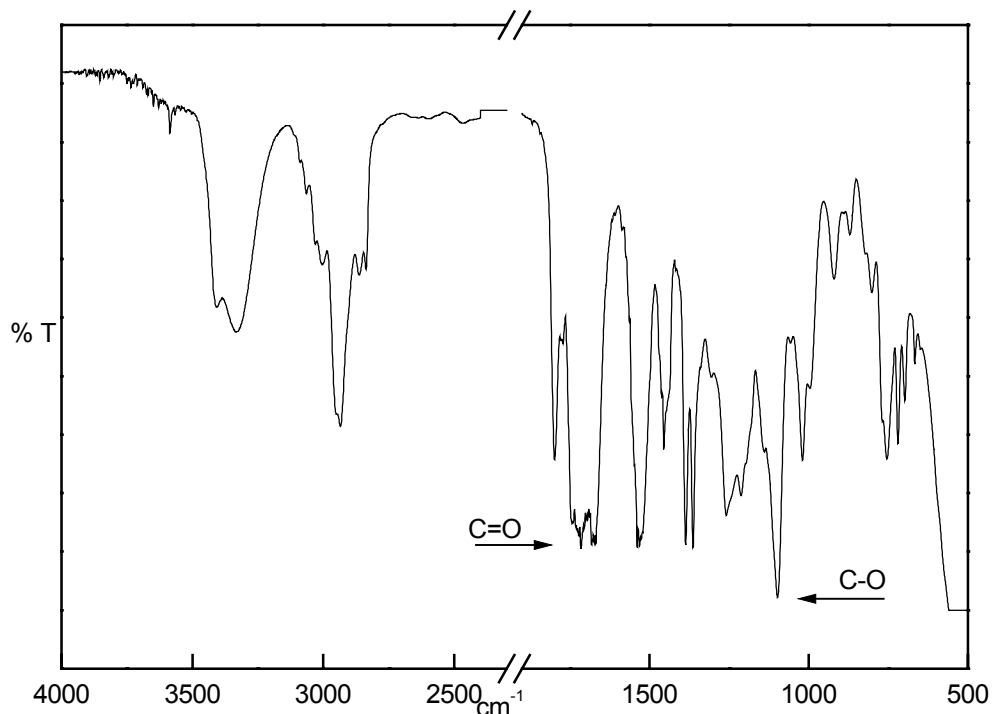


Figura 10.10. Espectro de infrarrojo del compuesto XI-D.

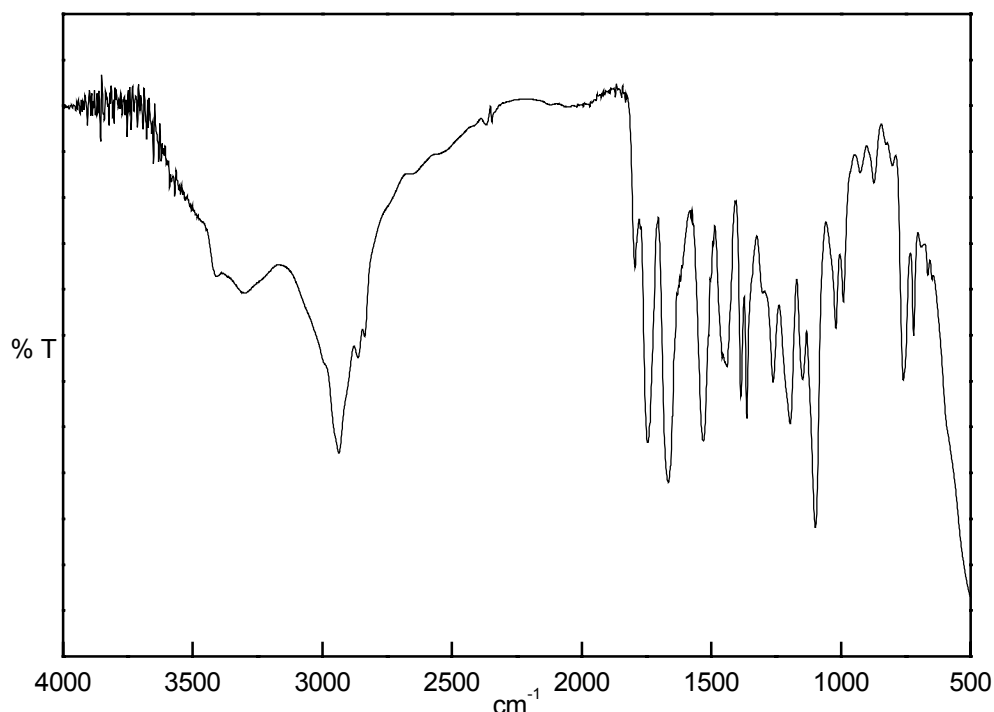


Figura 10.11. Espectro de infrarrojo del compuesto XII-D.

10.2. ESPECTROS DE IR DE LAS POLITARTARAMIDAS *ar*-PLLT, *sr*-PLLT, *ir*-PLLTD, *ar*-PLDT, *sr*-PLDT e *ir*-PLDT

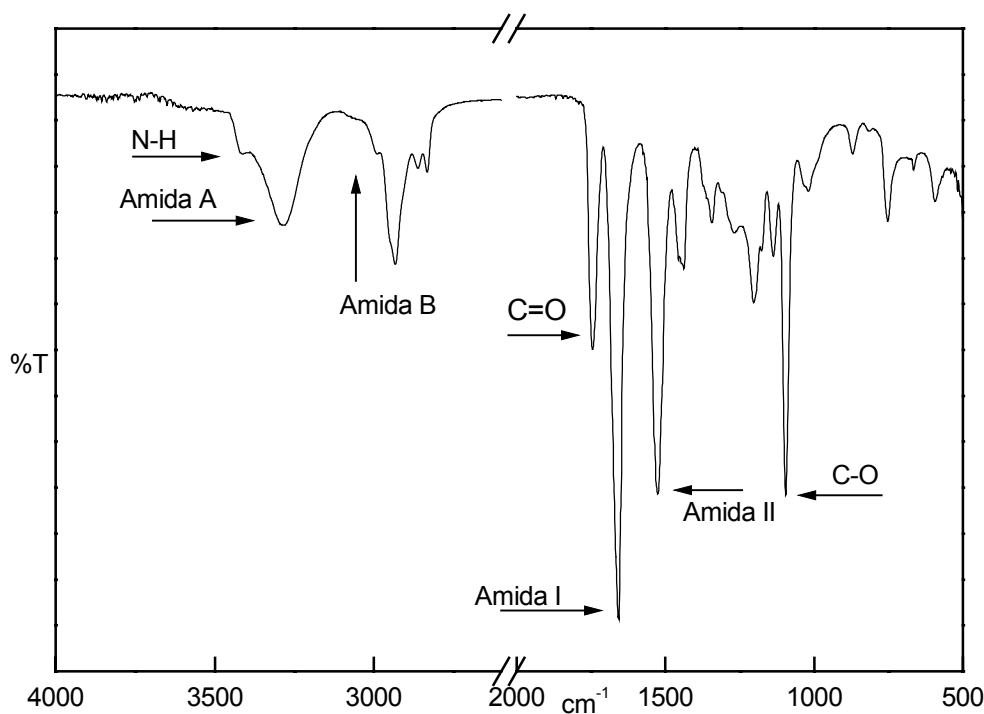


Figura 10.12. Espectro de infrarrojo de la poliamida *ar*-PLLT.

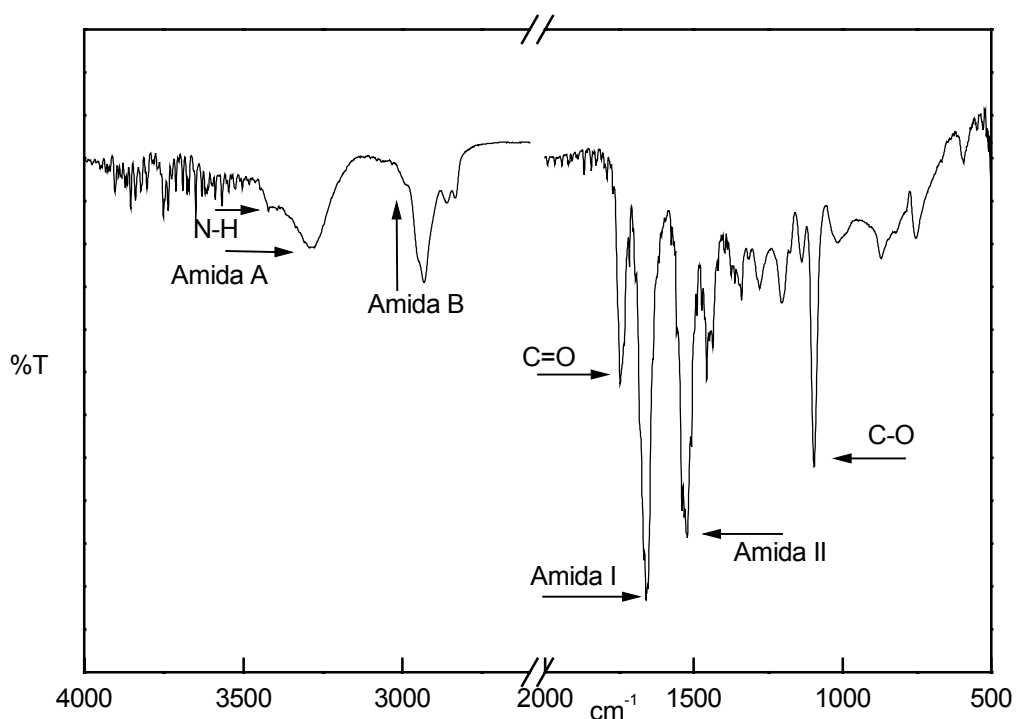


Figura 10.13. Espectro de infrarrojo de la poliamida sr-PLLT.

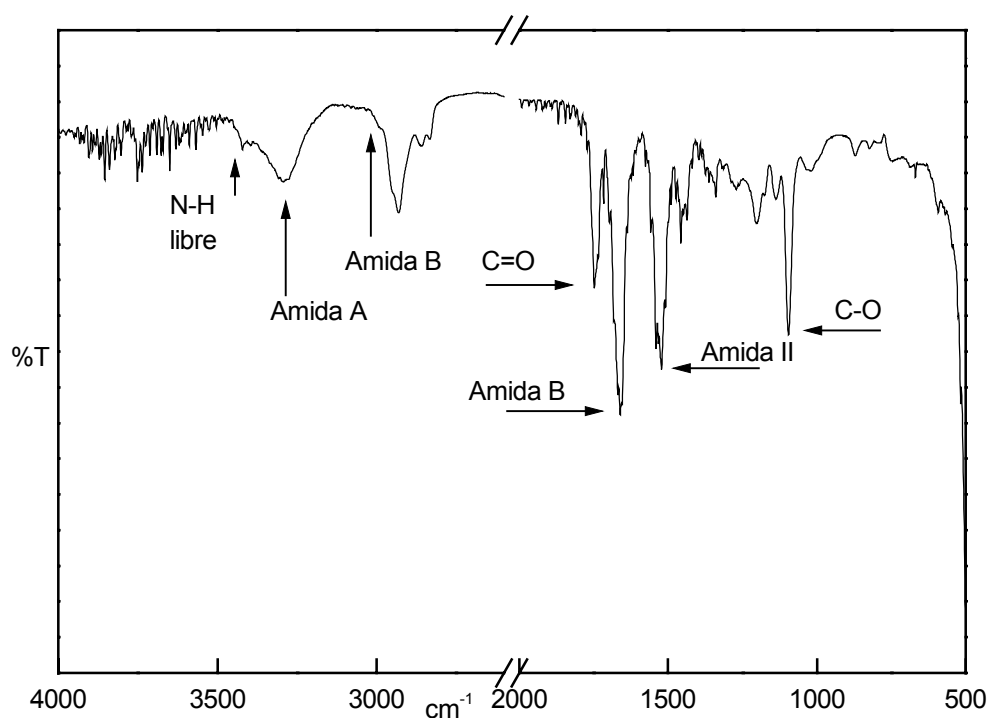


Figura 10.14. Espectro de infrarrojo de la poliamida ir-PLLT.

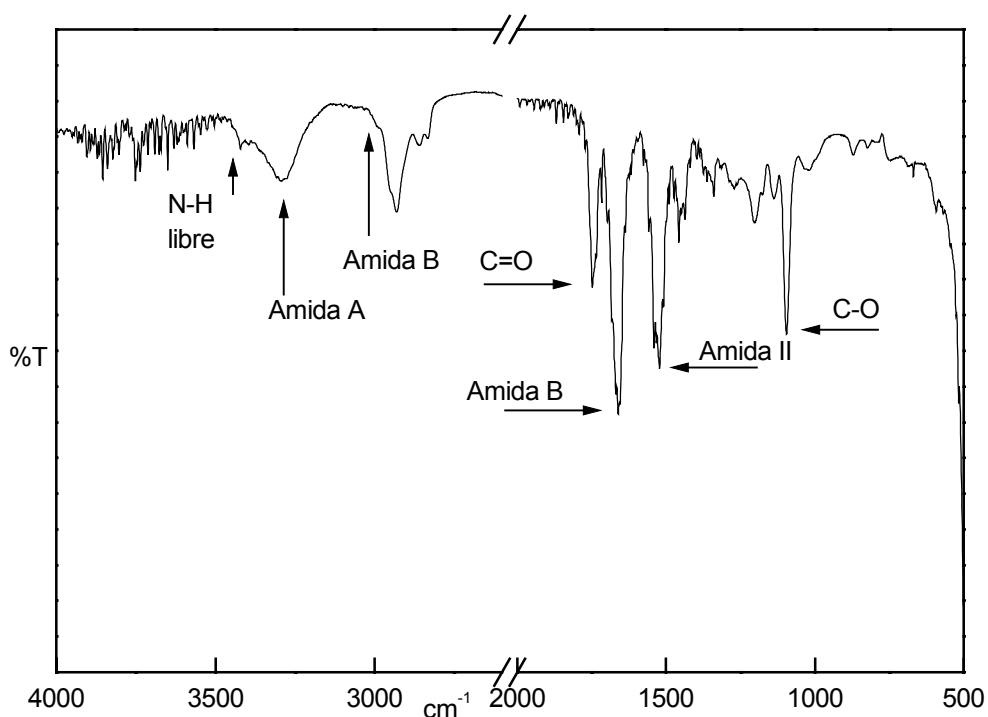


Figura 10.15. Espectro de infrarrojo de la poliamida ar-PLDT.

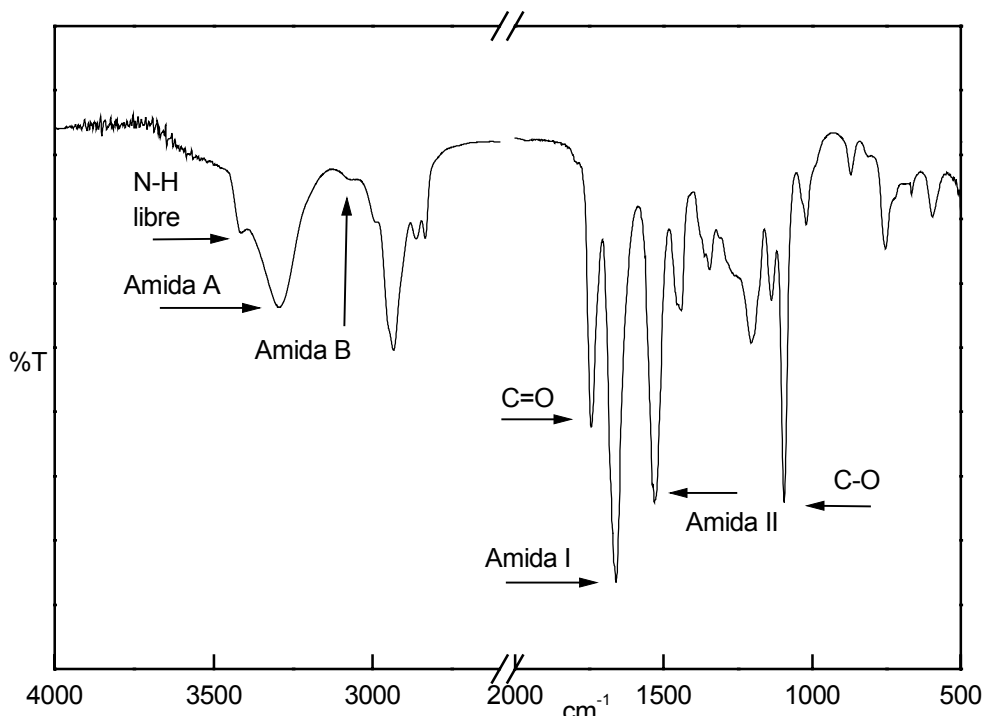


Figura 10.16. Espectro de infrarrojo de la poliamida sr-PLDT.

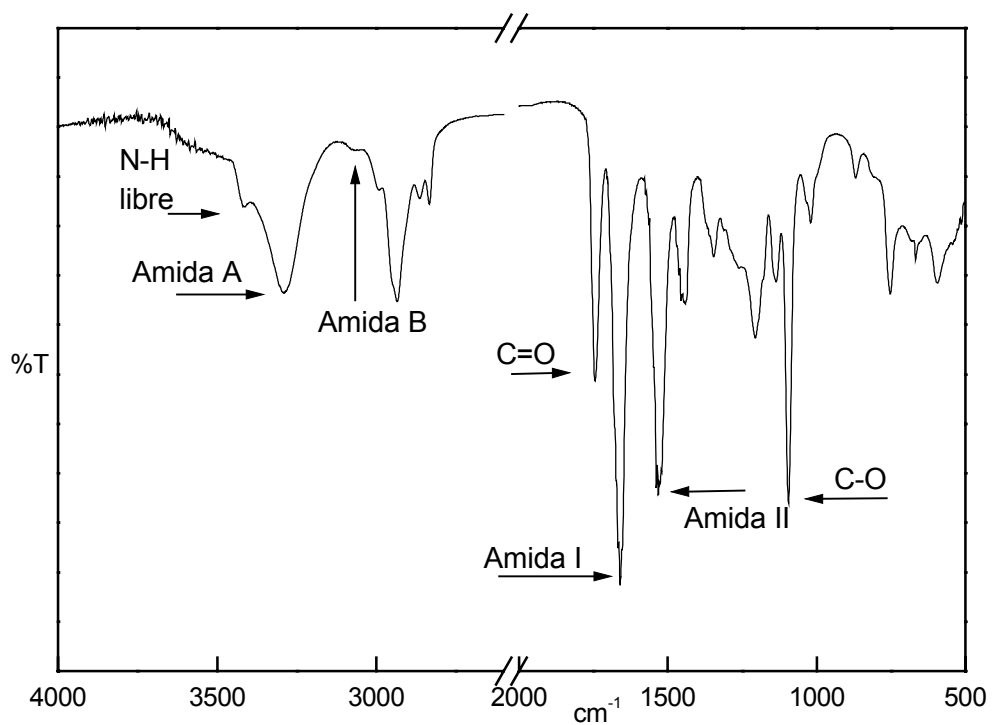


Figura 10.17. Espectro de infrarrojo de la poliamida ir-PLDT.

(blank)

10.3. ESPECTROS DE ^1H -RMN Y ^{13}C -RMN DE LOS MONÓMEROS

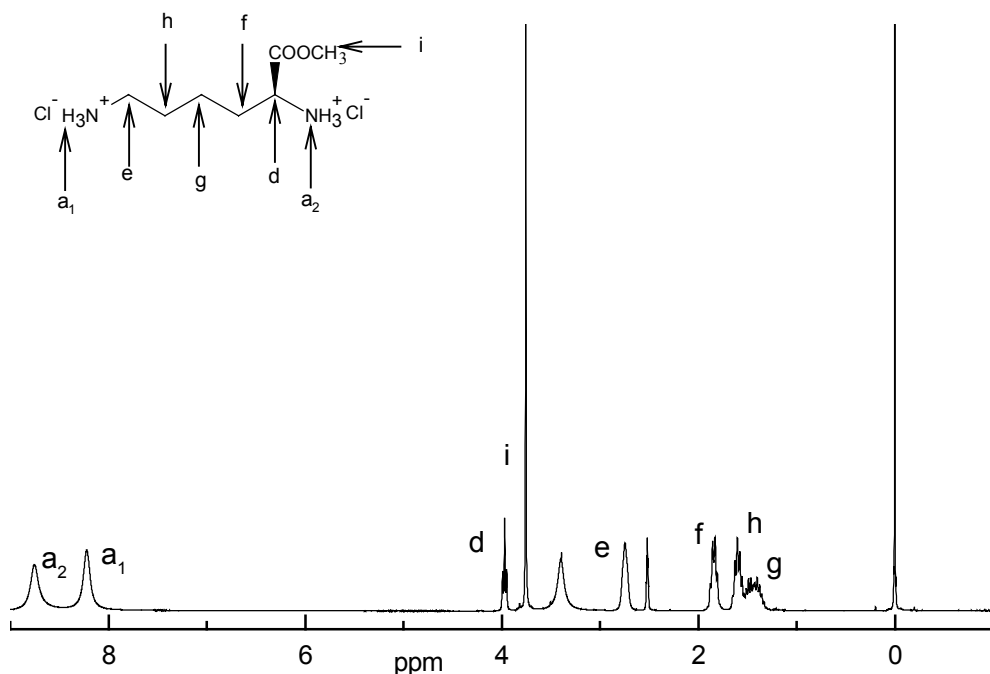


Figura 10.18. Espectro de ^1H -RMN en $\text{DMSO}-d_6$ del compuesto I.

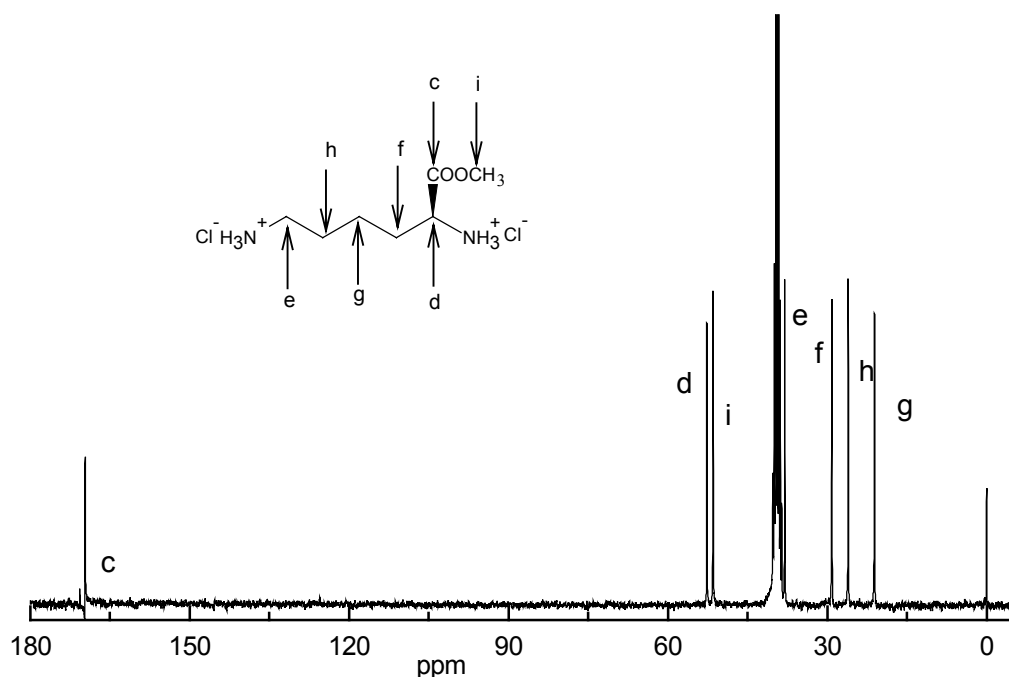


Figura 10.19. Espectro de ^{13}C -RMN en $\text{DMSO}-d_6$ del compuesto I.

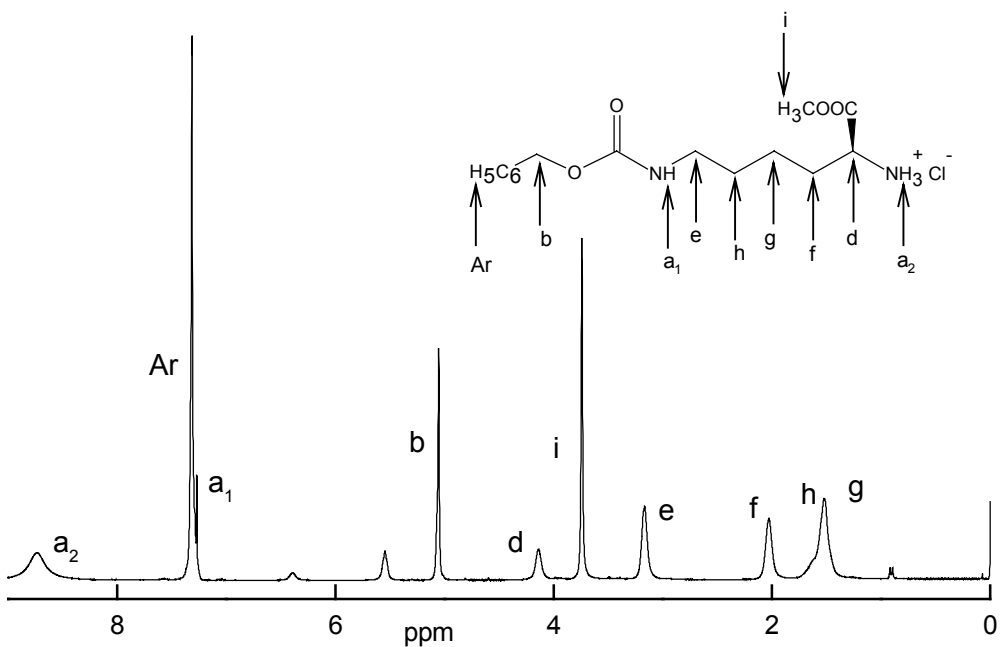


Figura.10.20. Espectro de ^1H -RMN en CDCl_3 del compuesto VI.

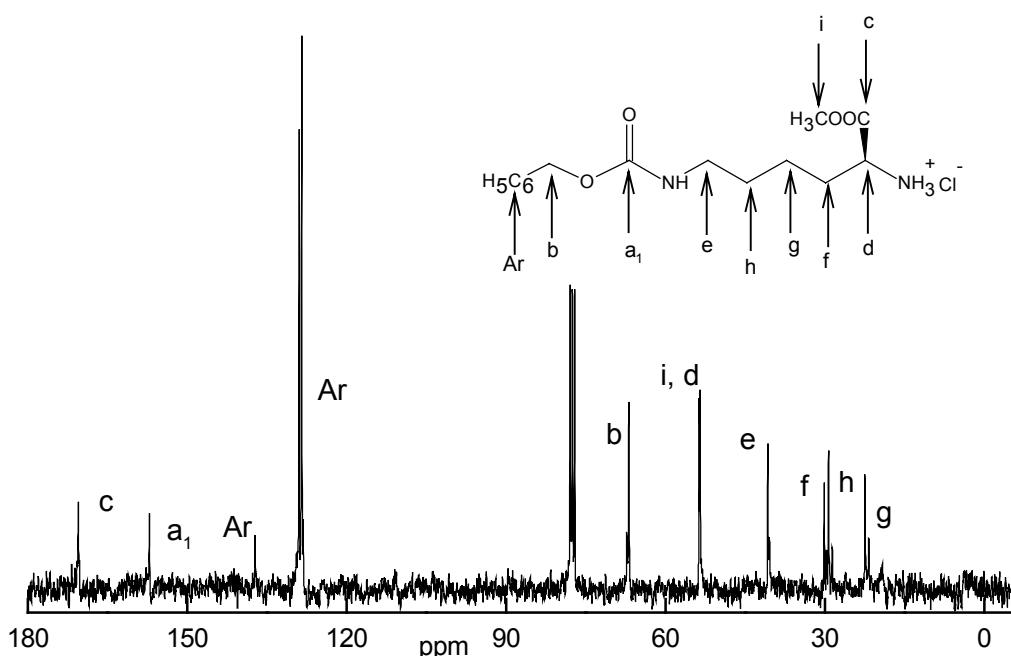


Figura 10.21. Espectro de ^{13}C -RMN en CDCl_3 del compuesto VI-L.

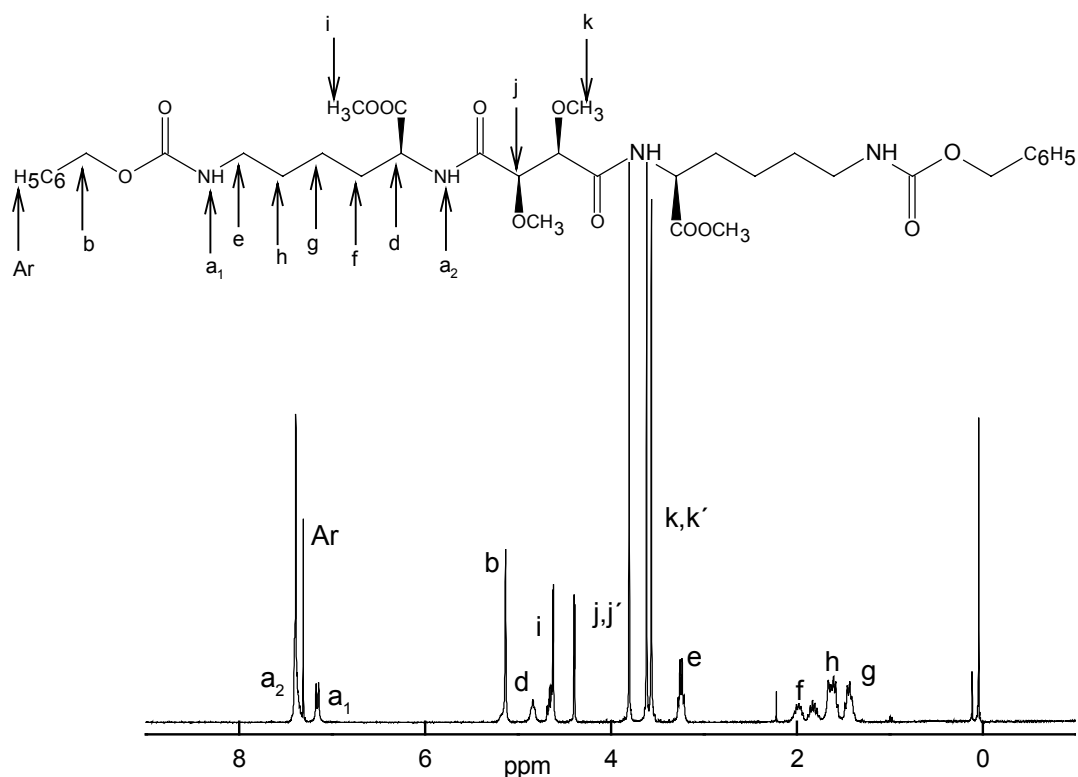


Figura 10.22. Espectro de ^1H -RMN en $\text{DMSO}-d_6$ del compuesto. VII.-L.

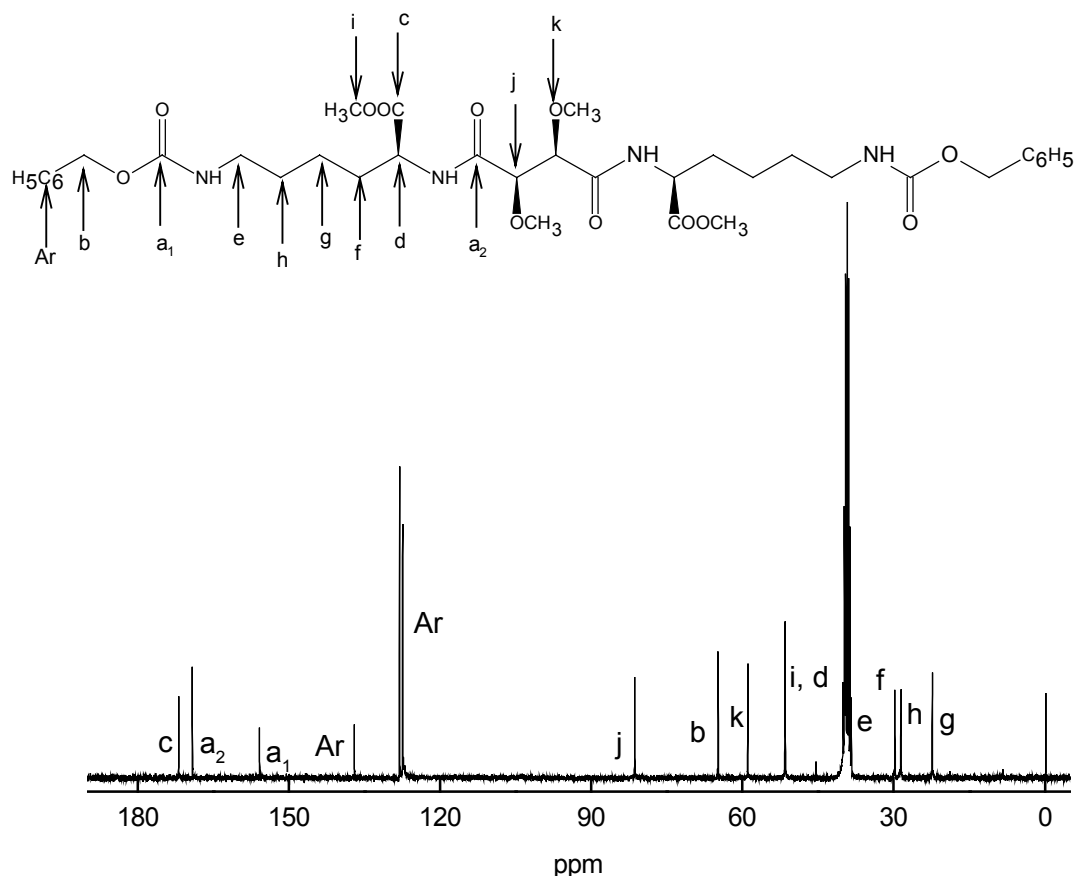


Figura 10.23. Espectro de ^{13}C -RMN en $\text{DMSO}-d_6$ del compuesto VII-L.

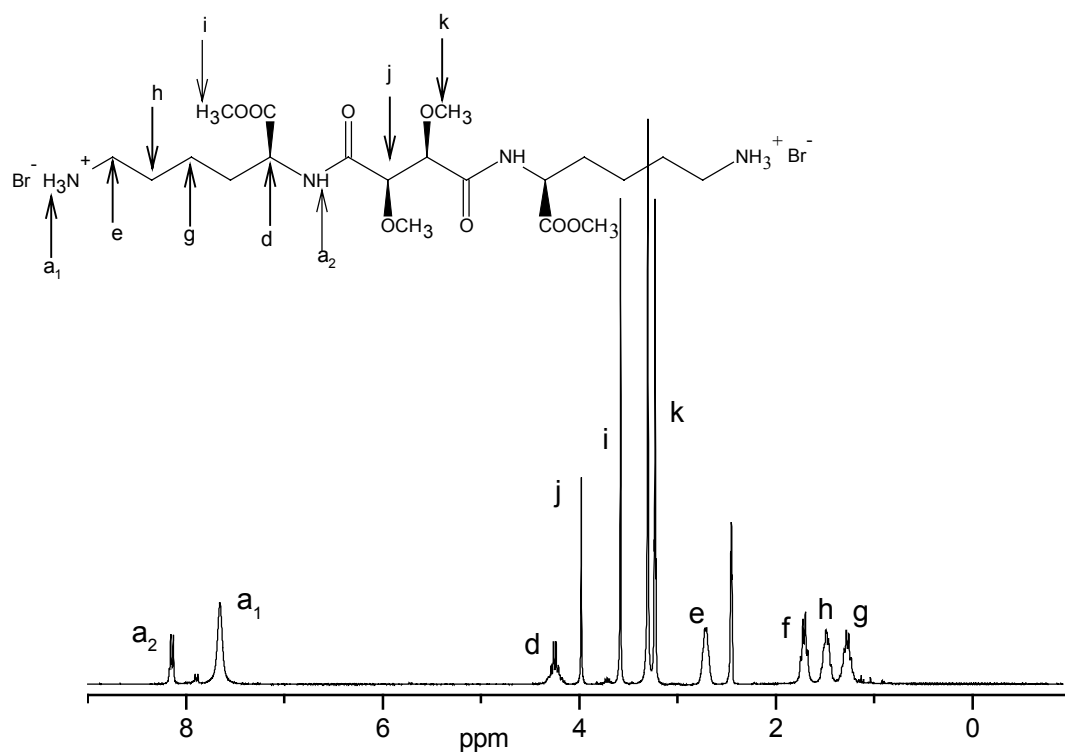


Figura 10.24. Espectro de ^1H -RMN en $\text{DMSO}-d_6$ del compuesto VIII-L.

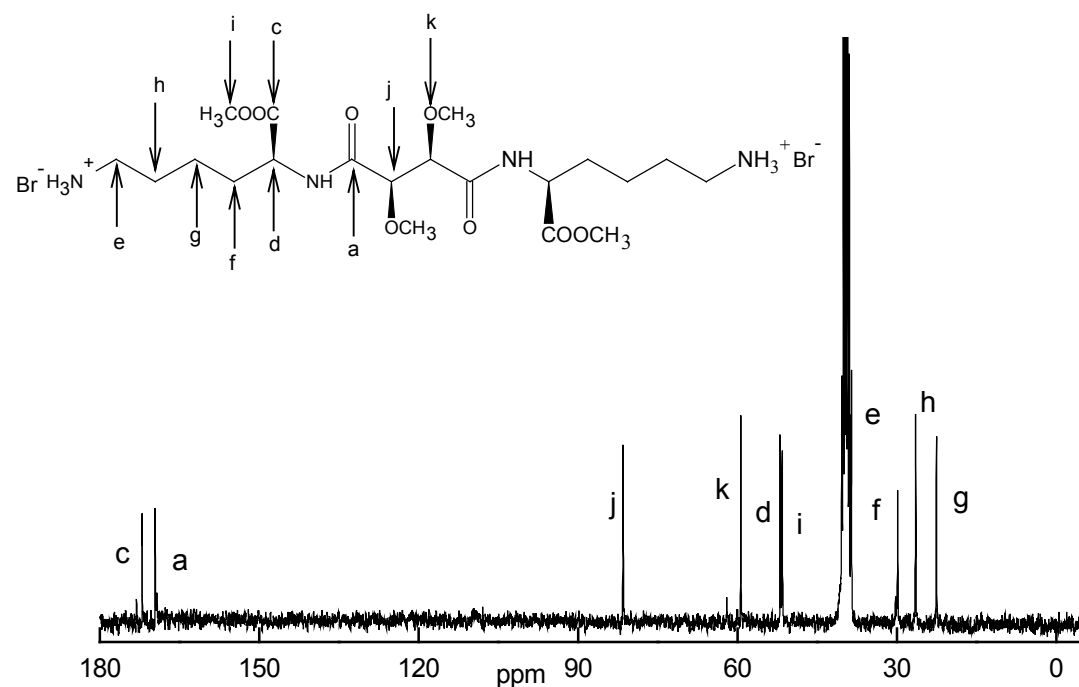


Figura 10.25. Espectro de ^{13}C -RMN en $\text{DMSO}-d_6$ del compuesto VIII-L.

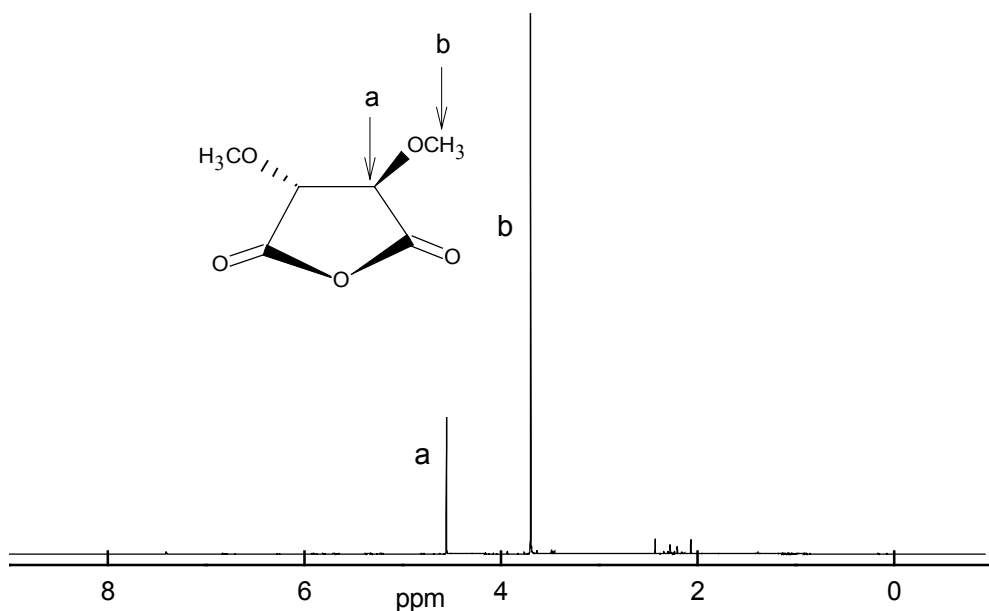


Figura 10.26. Espectro de ^1H -RMN del compuesto IX-L.

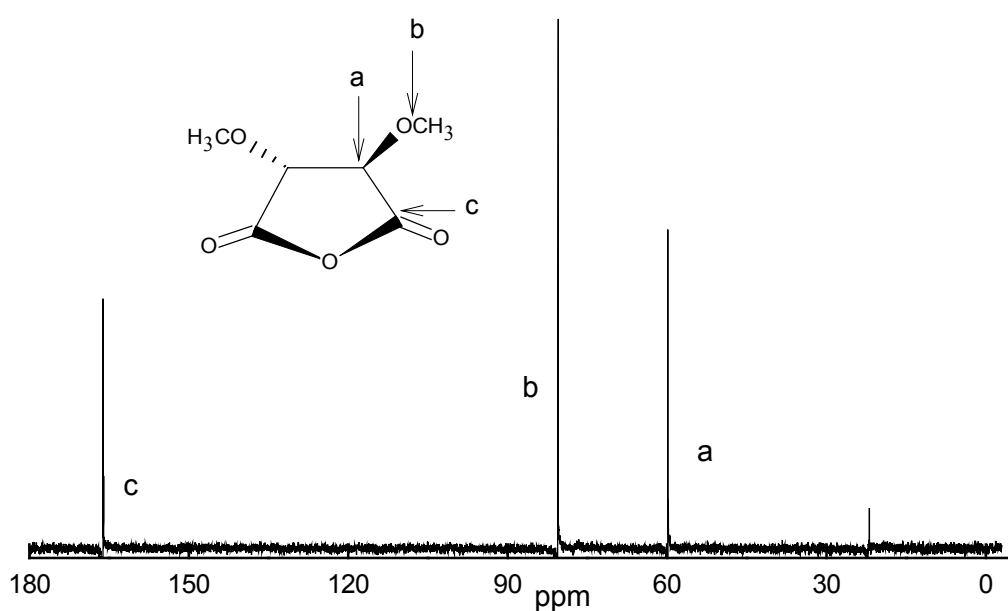


Figura 10.27. Espectro de ^{13}C -RMN del compuesto IX-L.

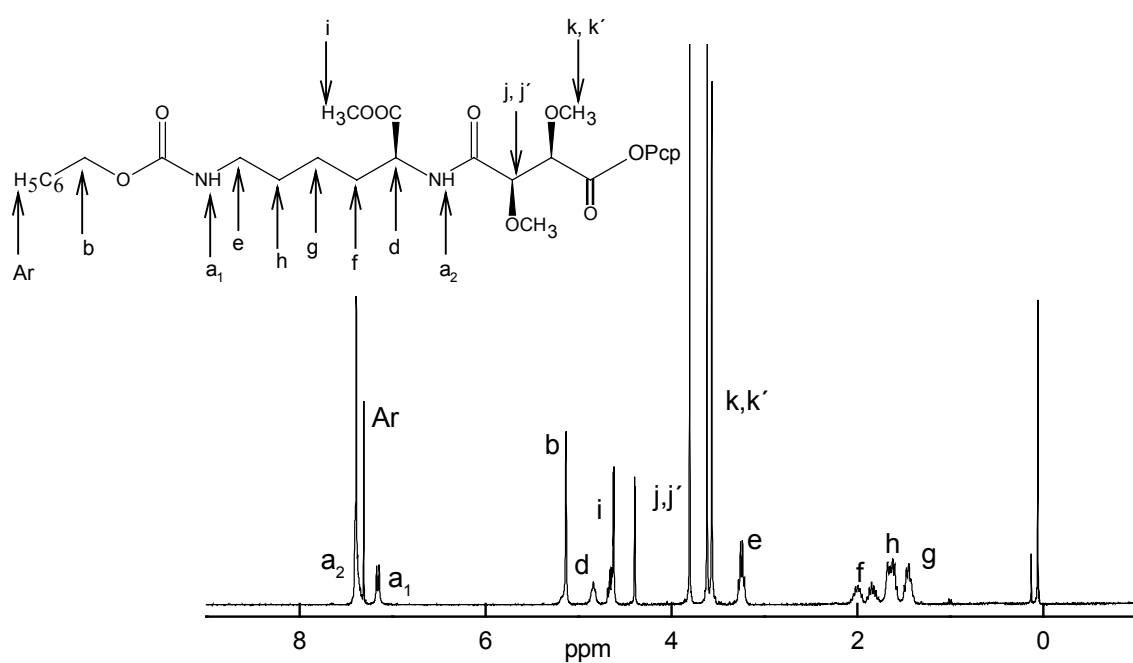


Figura 10.28. Espectro de ^1H -RMN en CDCl_3 del compuesto XI-L.

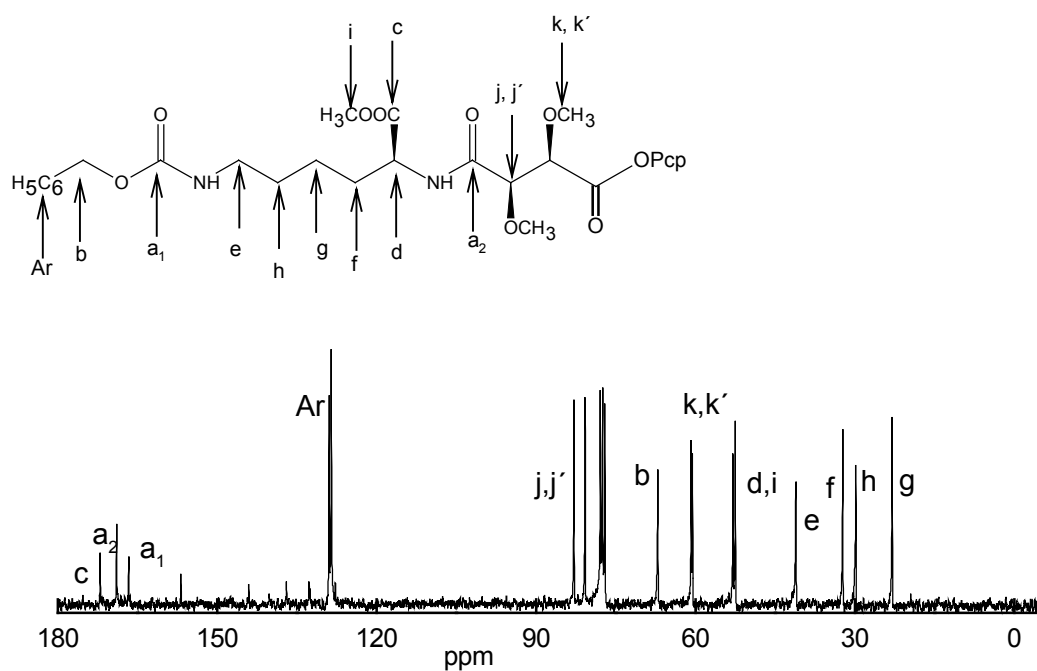
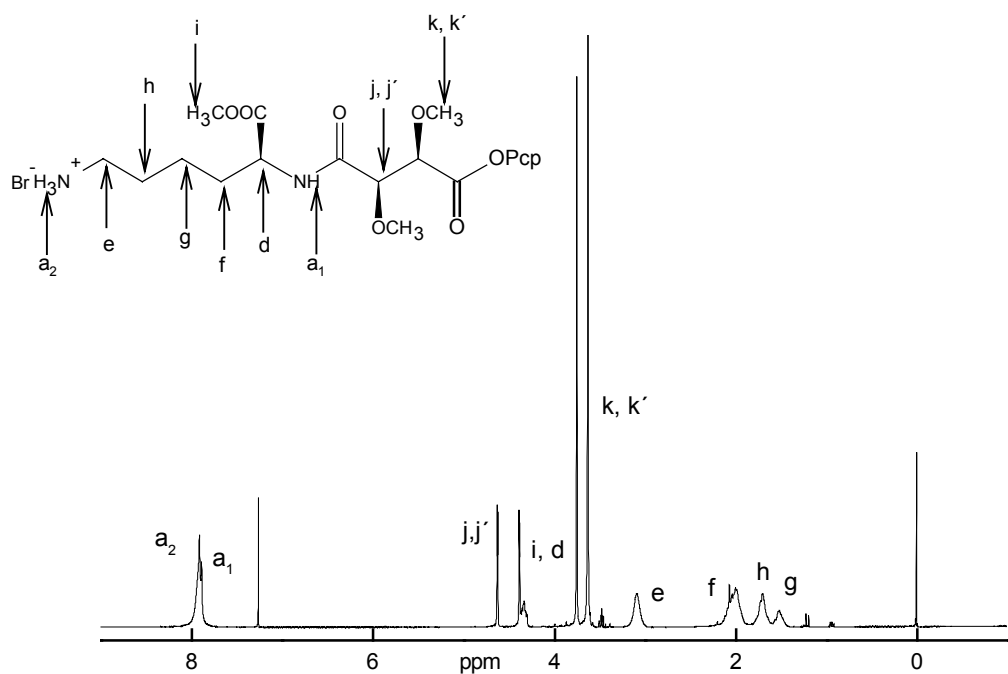
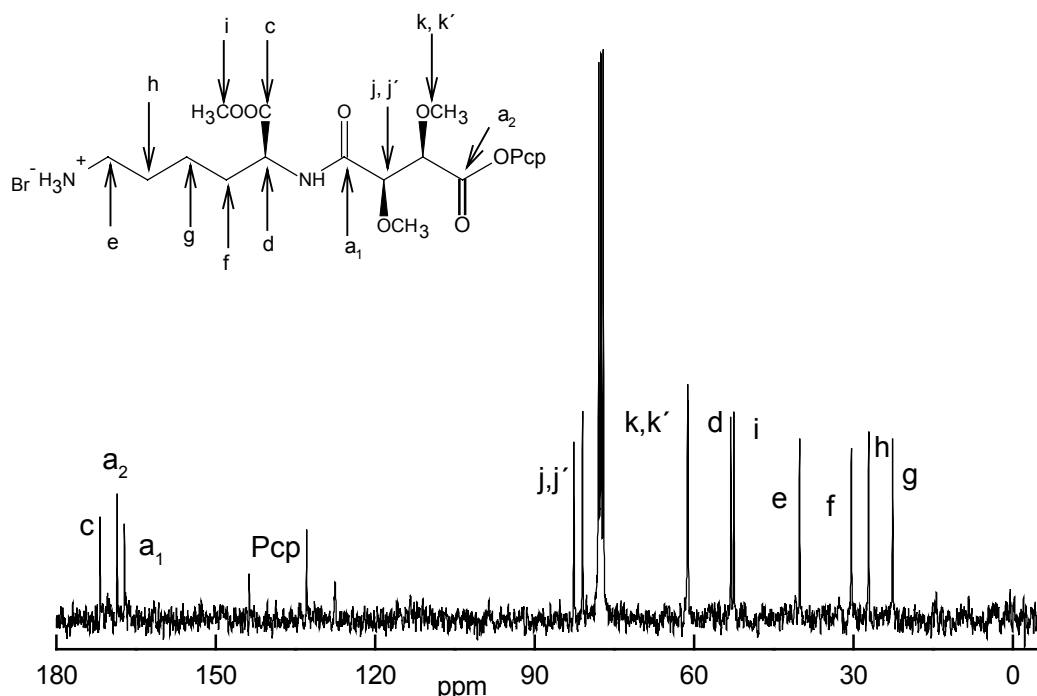
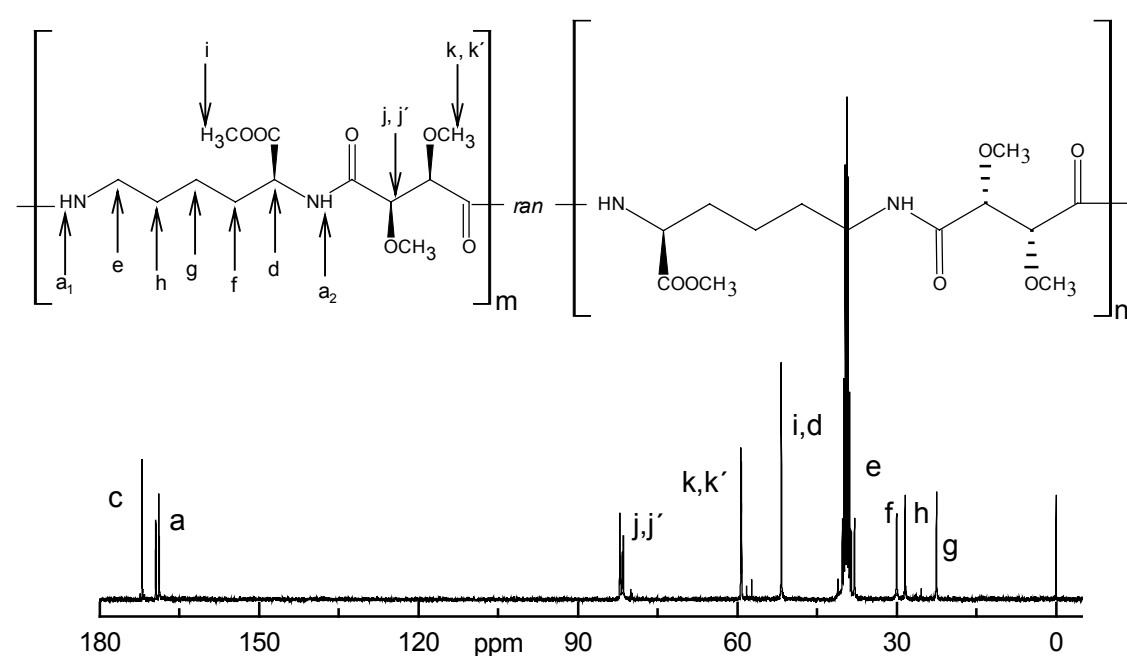
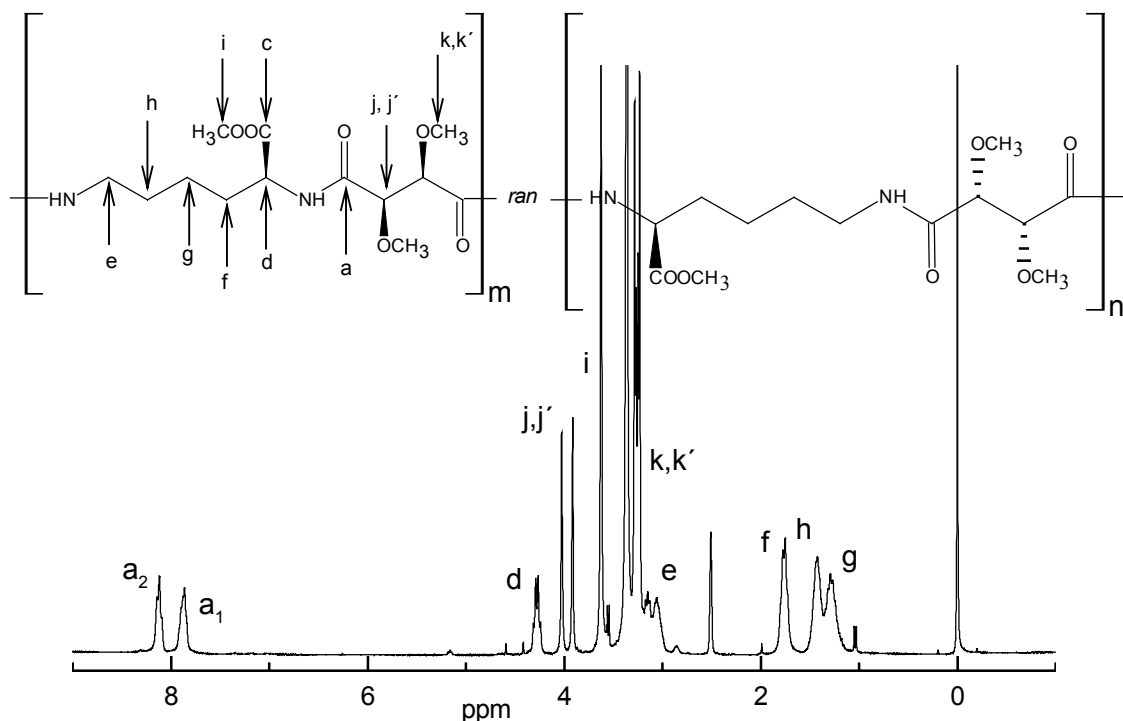


Figura 10.29. Espectro de ^{13}C -RMN en CDCl_3 del compuesto XI-L

Figura 10.30. Espectro de ^1H -RMN en CDCl_3 del compuesto XII-L.Figura 10.31. Espectro de ^{13}C -RMN en CDCl_3 del compuesto XII-L.

10.4. ESPECTROS DE ^1H -RMN, ^{13}C -RMN DE POLITARTARAMIDAS *ar*-PLLT, *sr*-PLLT, *ir*-PLLT, *ar*-PLDT, *sr*-PLDT e *ir*-PLDT



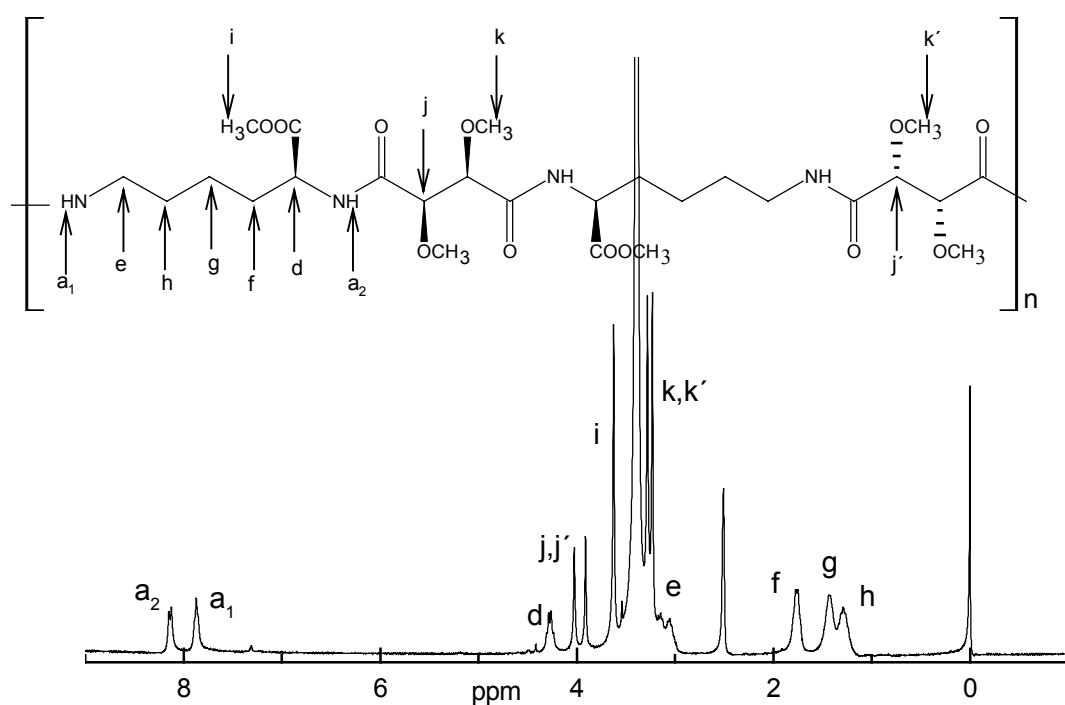


Figura 10.34. Espectro de ^1H -RMN de la poliamida sr-PLLT en $\text{DMSO}-d_6$

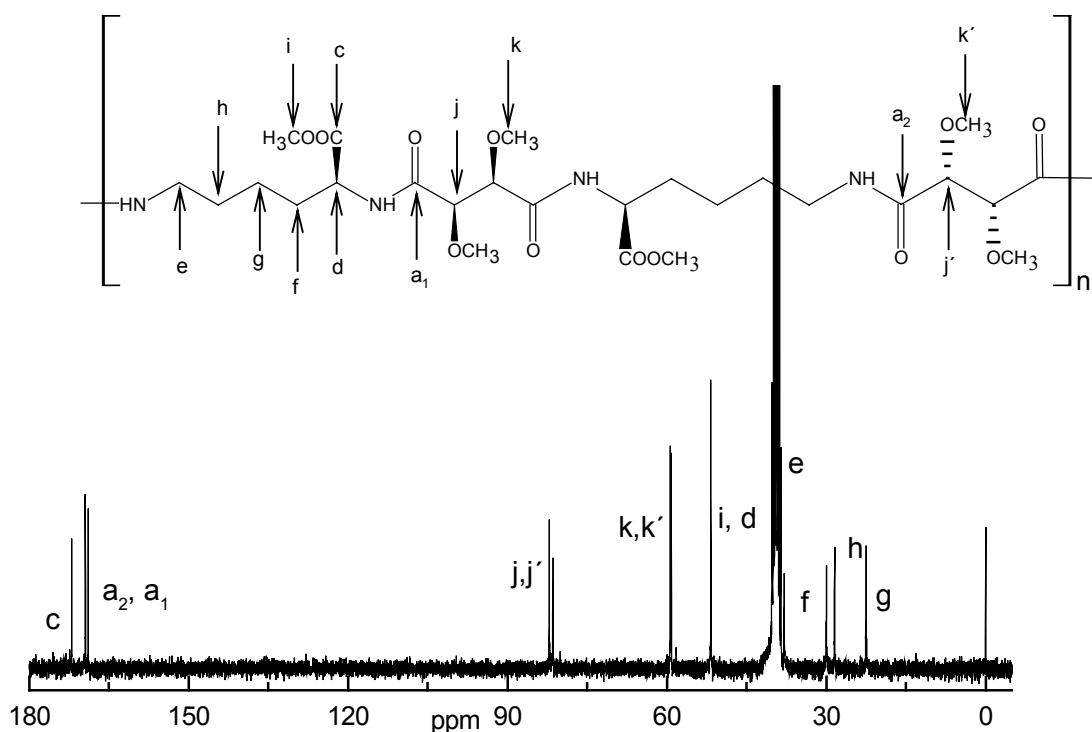


Figura 10.35. Espectro de ^{13}C -RMN de la poliamida sr-PLLT en $\text{DMSO}-d_6$.

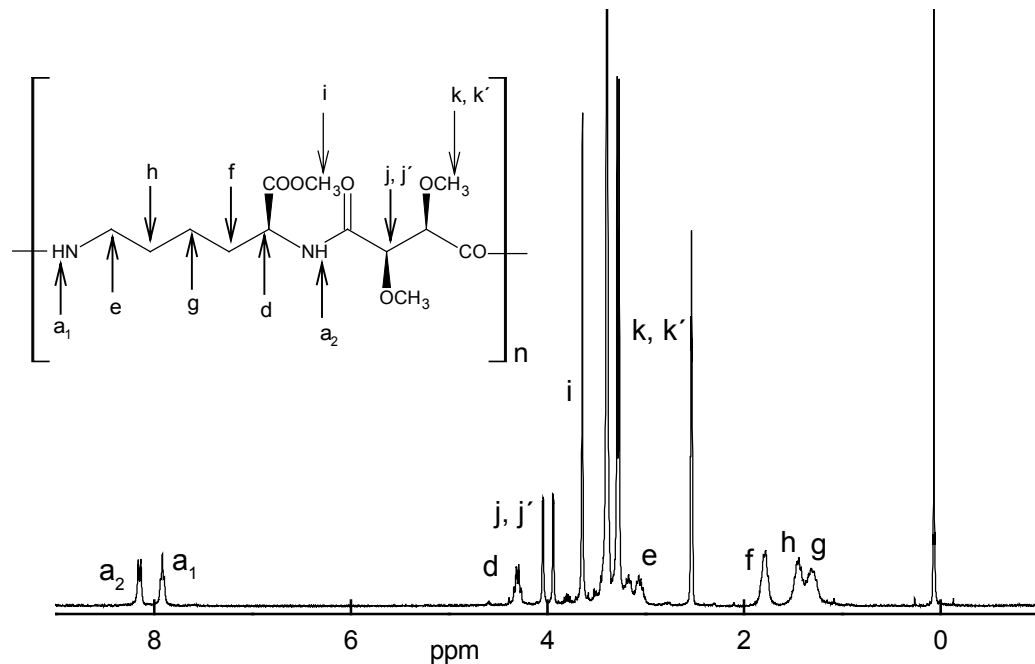


Figura 10.36. Espectro de ^1H -RMN de la poliamida ir-PLLT en $\text{DMSO}-d_6$.

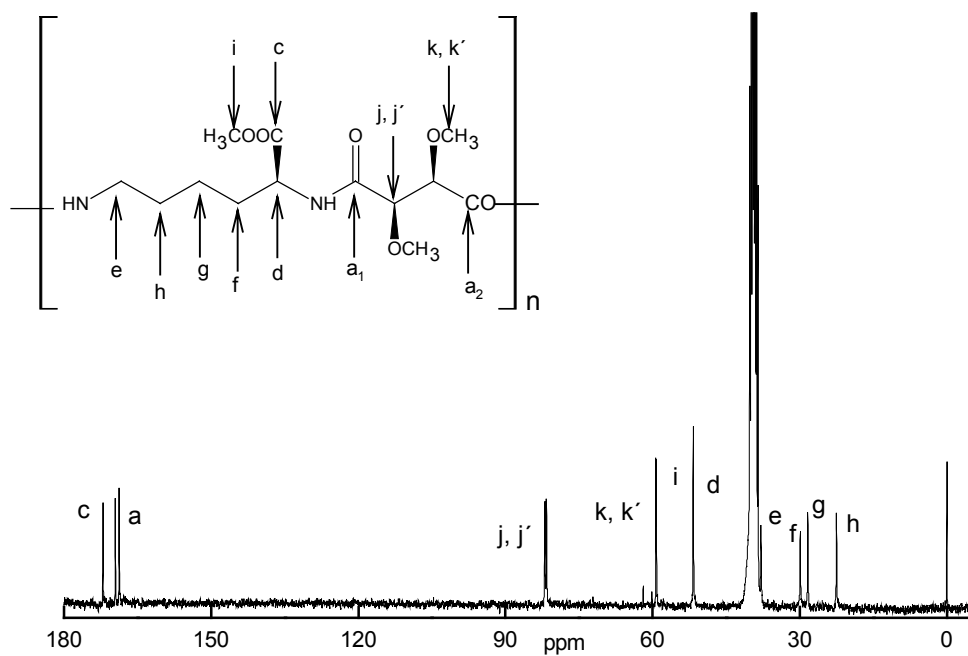


Figura 10.37. Espectro de ^{13}C -RMN de la poliamida ir-PLLT regular en $\text{DMSO}d_6$.

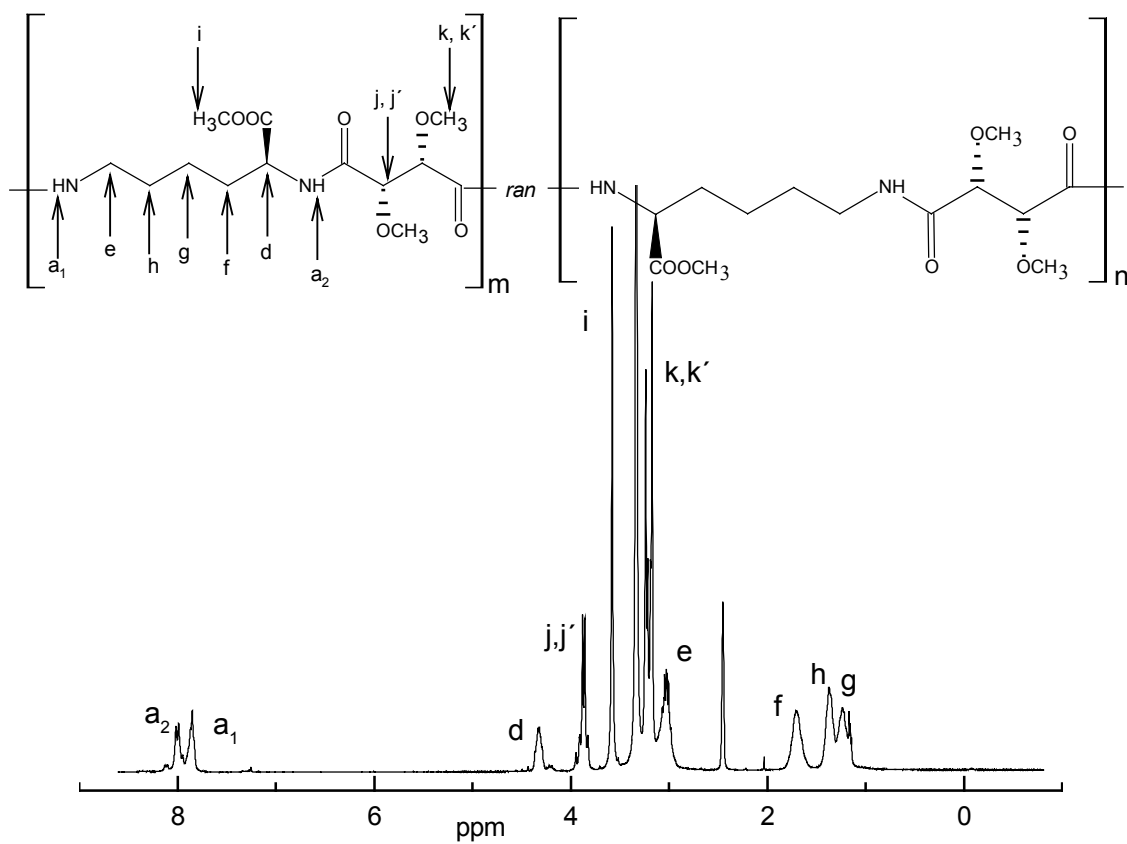


Figura 10.38. Espectro de protón de la poliamida ar-PLDT en $\text{DMSO}-d_6$.

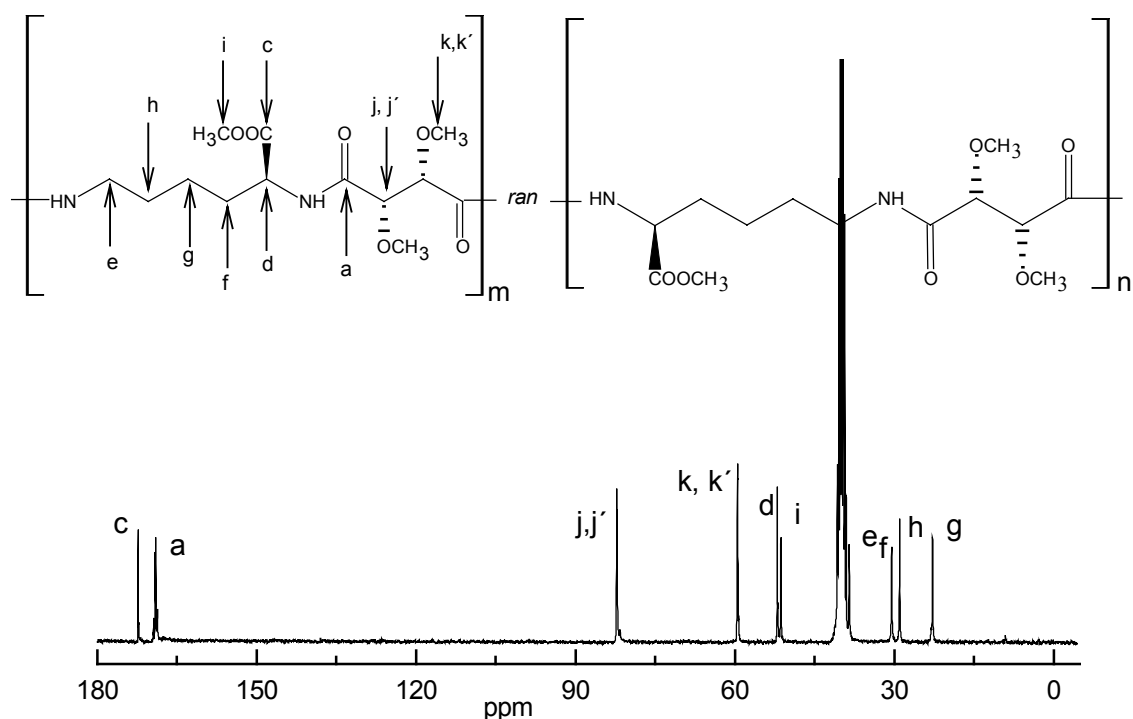


Figura 10.39. Espectro de ^{13}C -RMN de la poliamida ar-PLDT en $\text{DMSO}-d_6$.

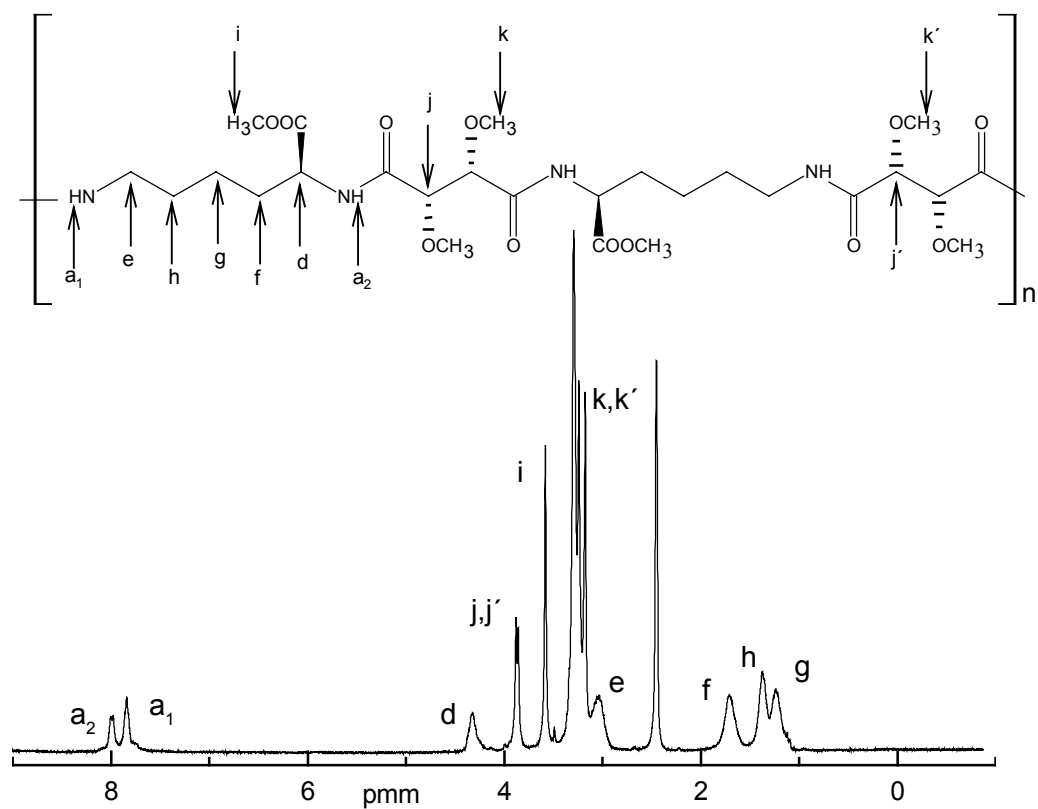


Figura 10.40. Espectro de ^1H -RMN de la poliamida sr-PLDT en $\text{DMSO}-d_6$

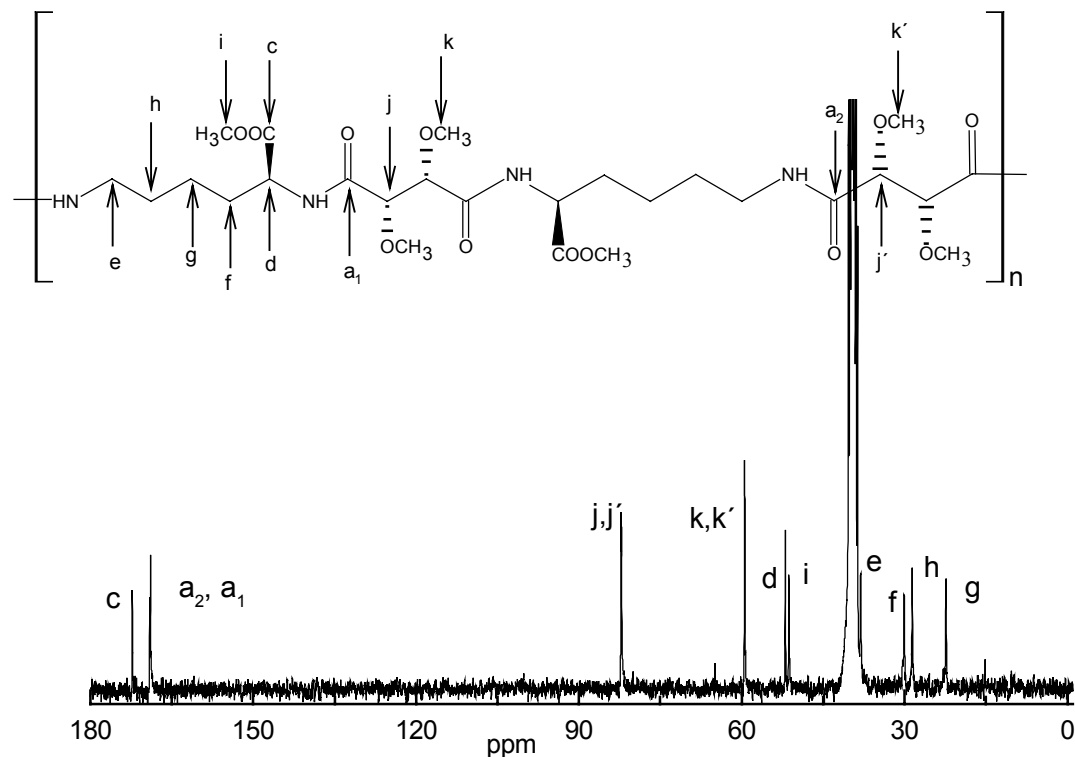


Figura 10.41. Espectro de ^{13}C -RMN de la poliamida sr-PLDT en $\text{DMSO}-d_6$.

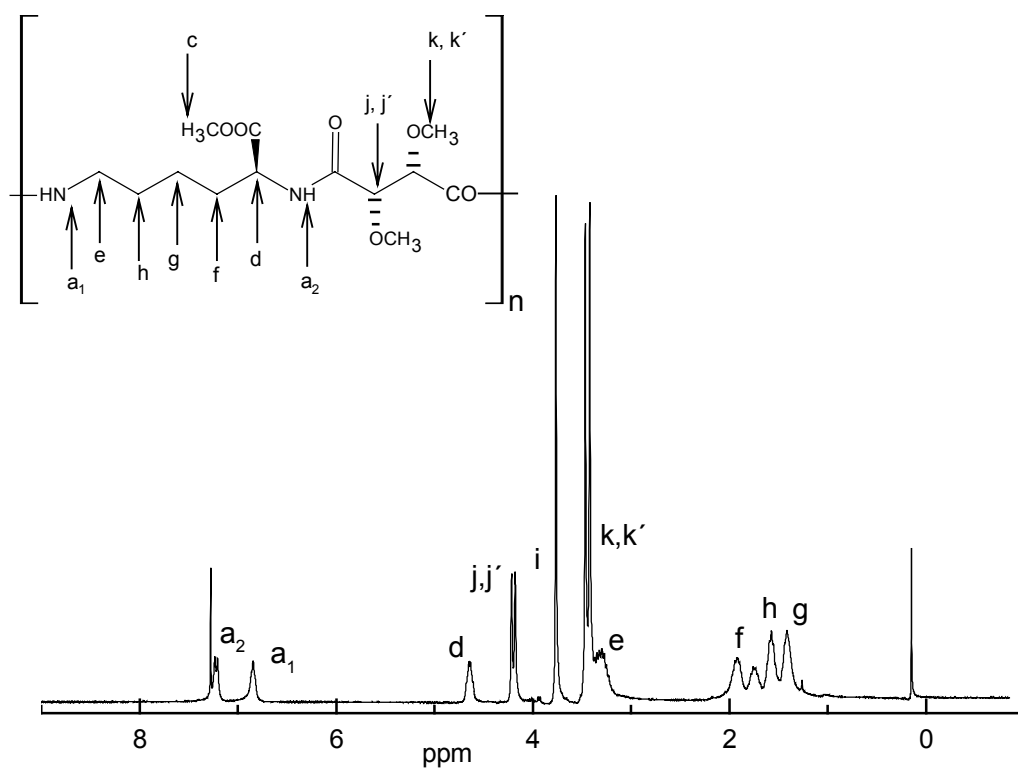


Figura. 10.42. Espectro de ^1H -RMN de la poliamida ir-PLDT en CDCl_3 .

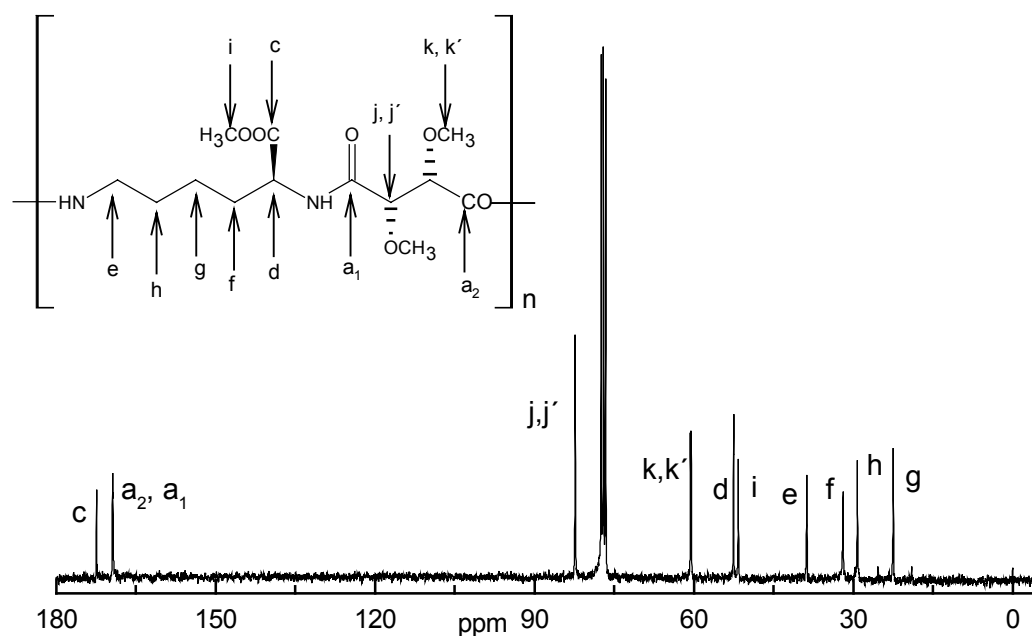


Figura 10.43. Espectro de ^{13}C -RMN de la poliamida ir-PLDT en CDCl_3 .

(blank)

10.5. ESPECTROS DE IR DE COMPUESTOS DERIVADOS DE LA 2,5-DICETOPIPERACINA

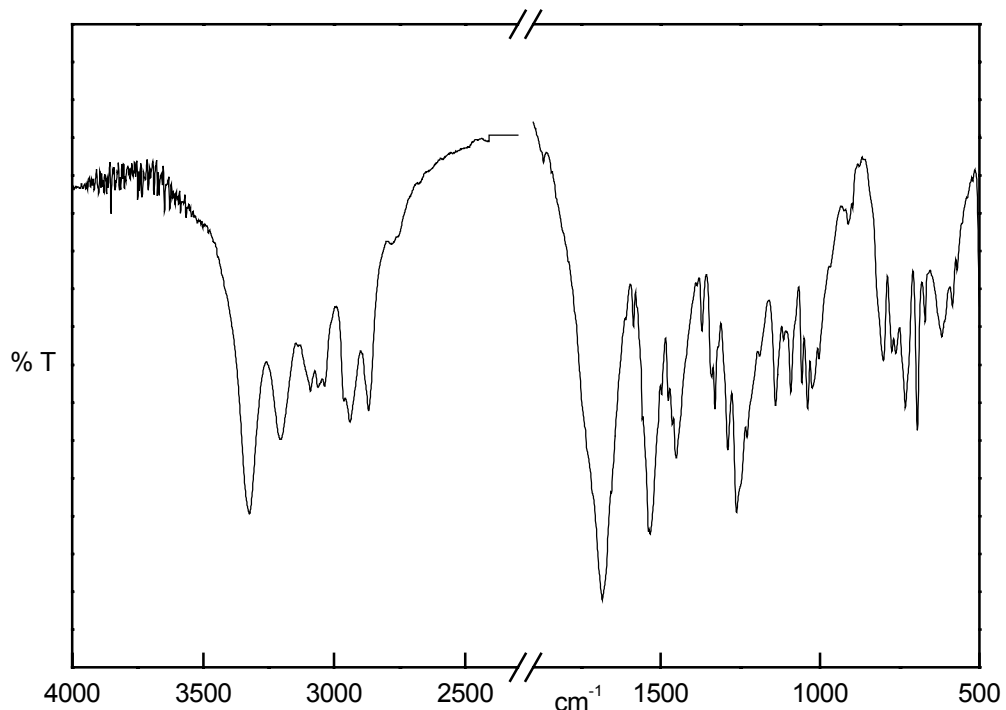


Figura 10.44. Espectro de infrarrojo del compuesto XIII.

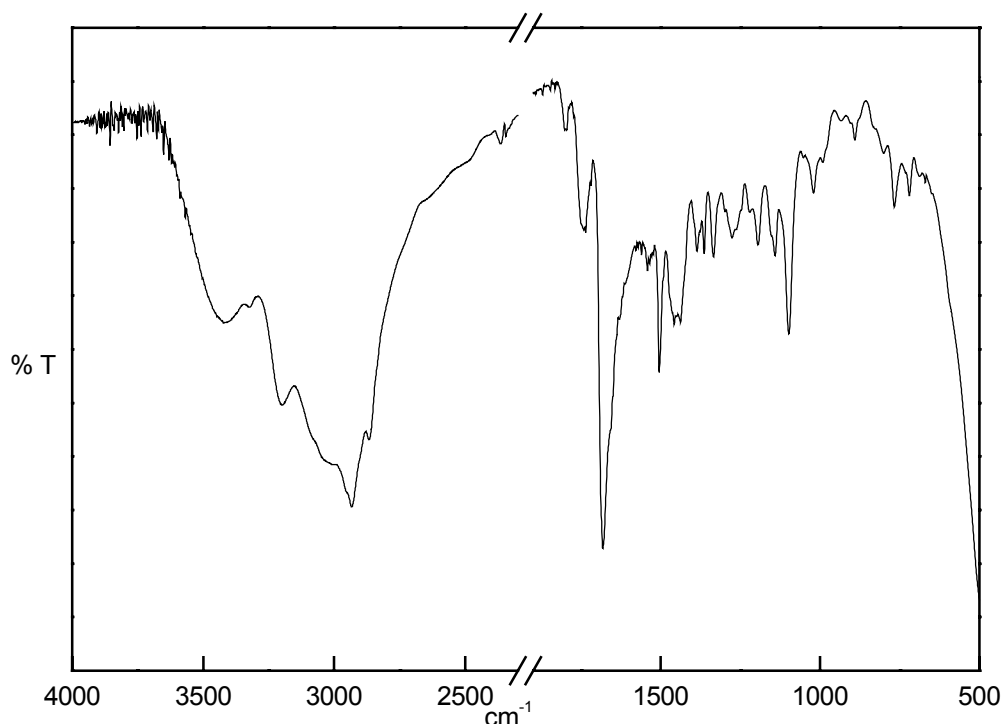


Figura 10.45. Espectro de infrarrojo del compuesto XIV.

10.6. ESPECTROS DE IR DE LOS POLÍMEROS PDK-LL y PDK-LD

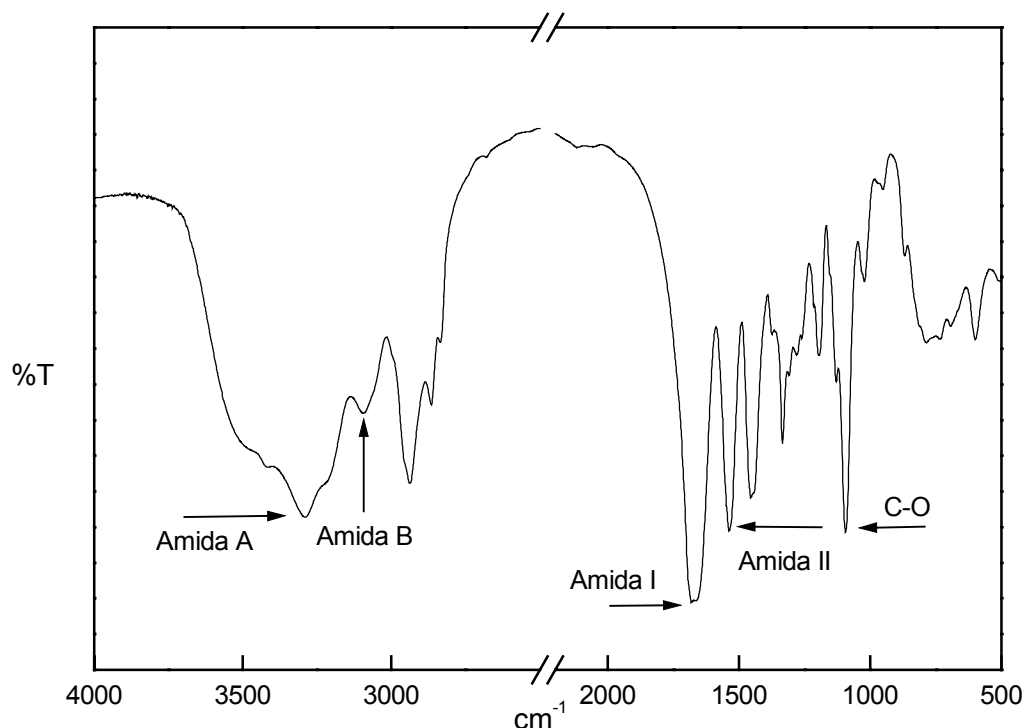


Figura 10.46. Espectro de infrarrojo de la poliamida PDK-LL.

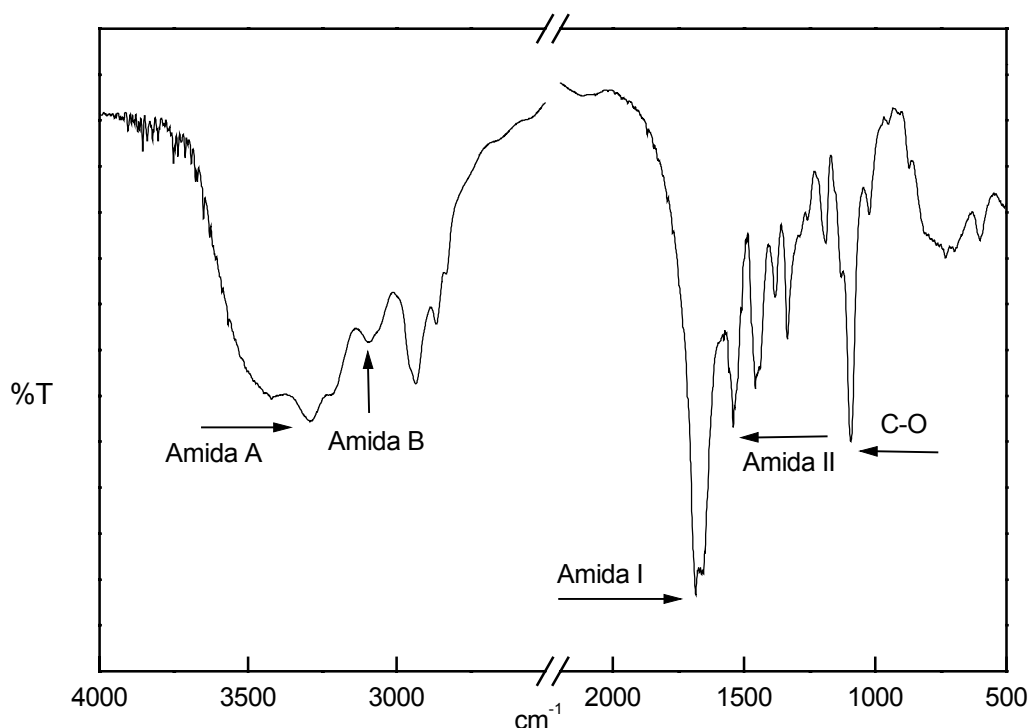


Figura 10.47. Espectro de infrarrojo de la poliamida PDK-LD.

**10.7. ESPECTROS DE ^1H -RMN Y ^{13}C -RMN DE COMPUESTOS DERIVADOS
DE LA 2,5 DICETOPIPERACINA**

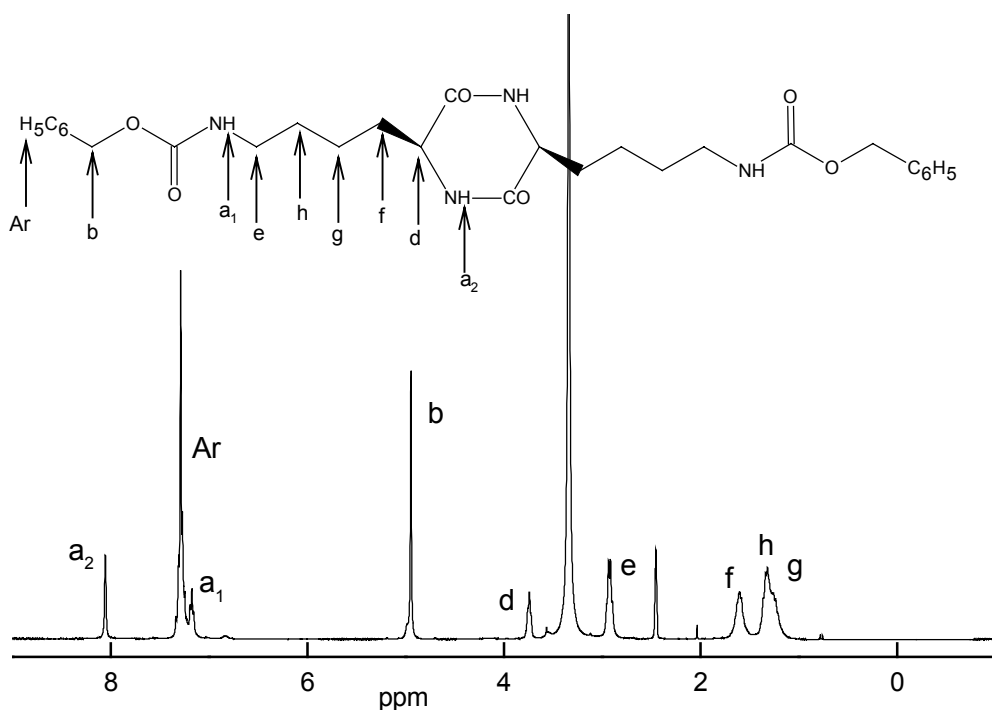


Figura 10.48. Espectro de ^1H -RMN en $\text{DMSO}-d_6$ del compuesto XIII

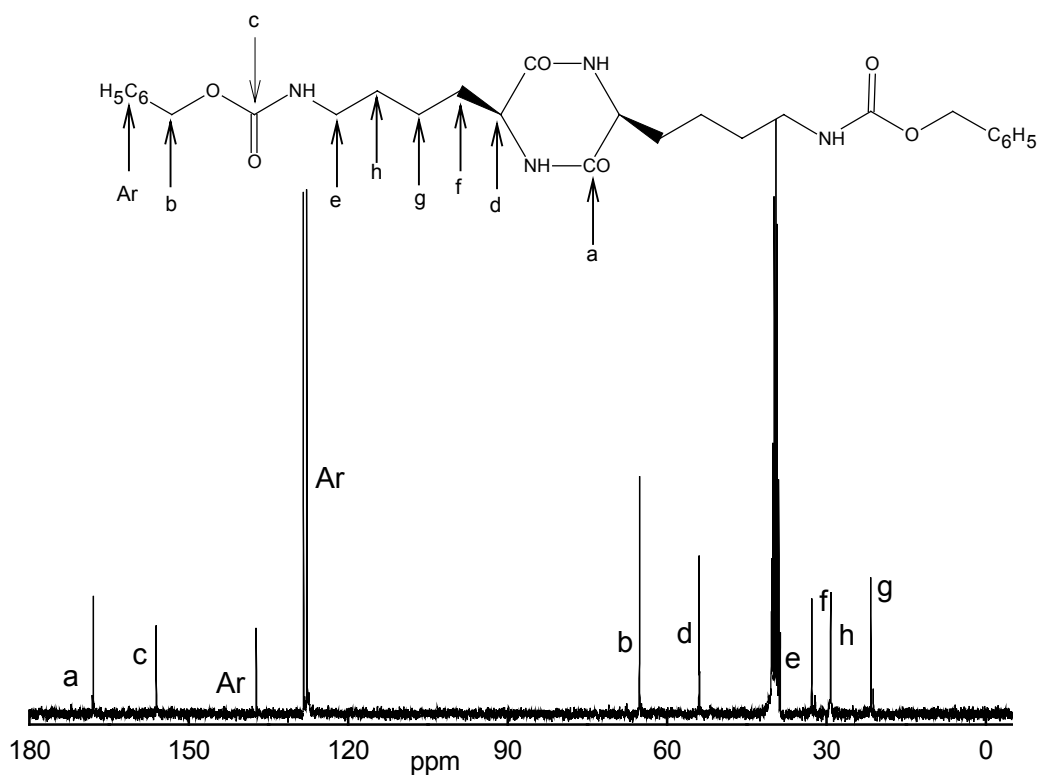


Figura 10.49. Espectro de ^{13}C -RMN en $\text{DMSO}-d_6$ del compuesto XIII.

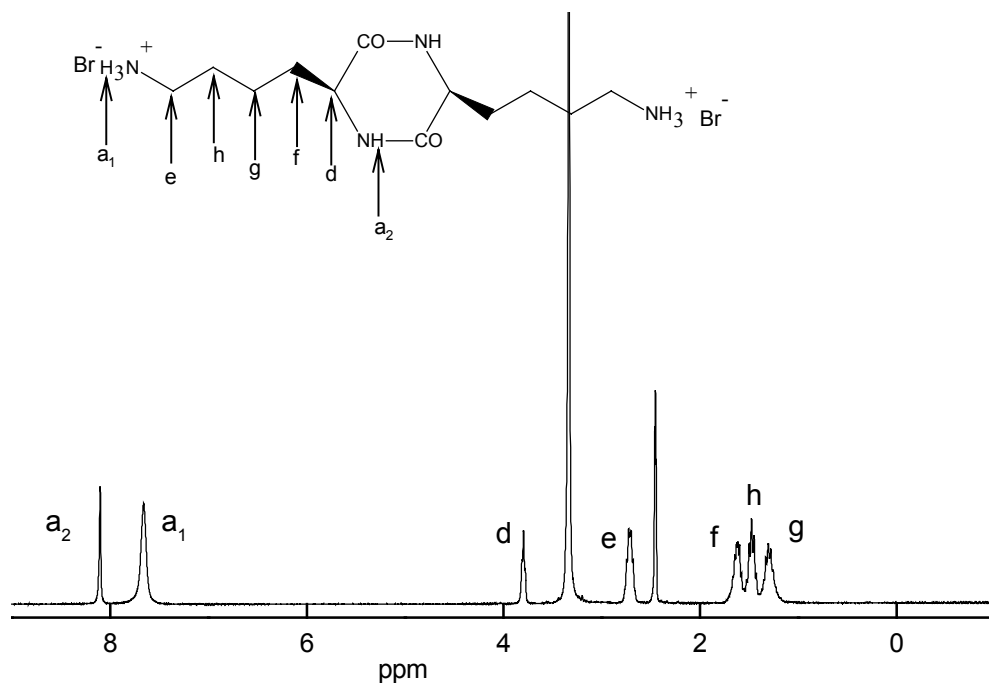


Figura 10.50. Espectro de ^1H -RMN en $\text{DMSO}-d_6$ del compuesto XIV.

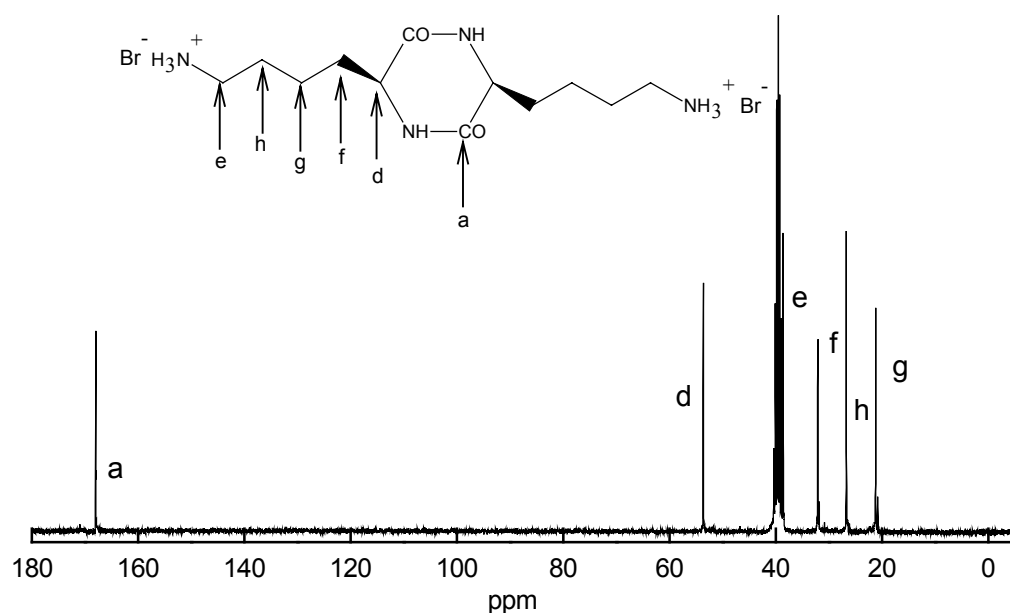


Figura 10.51. Espectro de ^{13}C -RMN en $\text{DMSO}-d_6$ del compuesto XIV.

10.8. ESPECTROS DE ^1H -RMN Y DE ^{13}C -RMN DE LOS POLÍMEROS PDK-LL Y PDK-DL

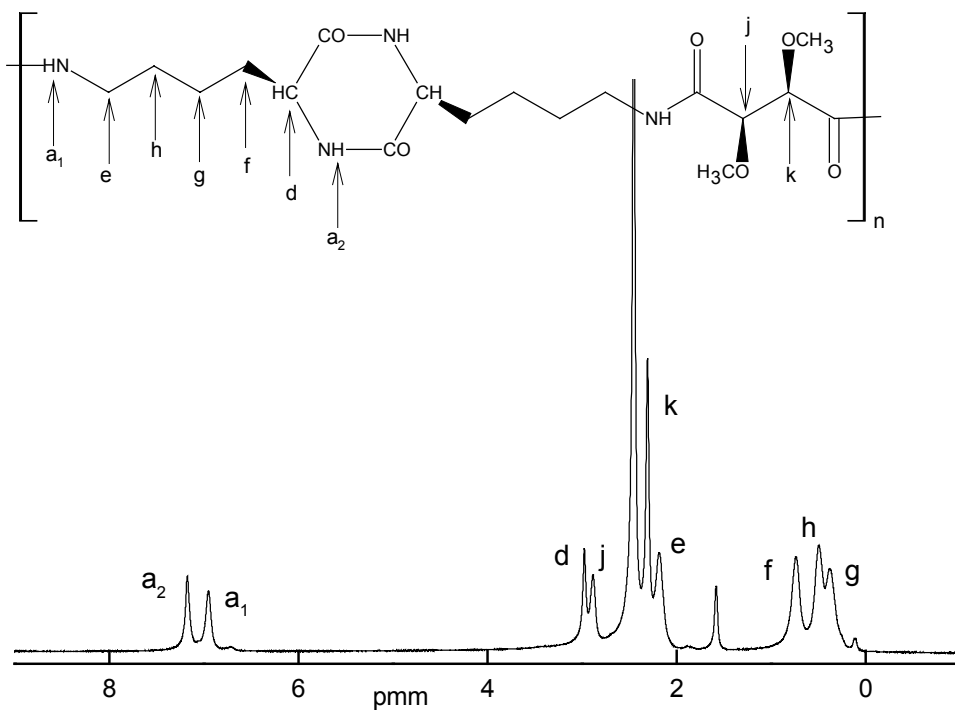


Figura 10.52. Espectro de ^1H -RMN de la poliamida PDK-LL con $\text{DMSO}-d_6$.

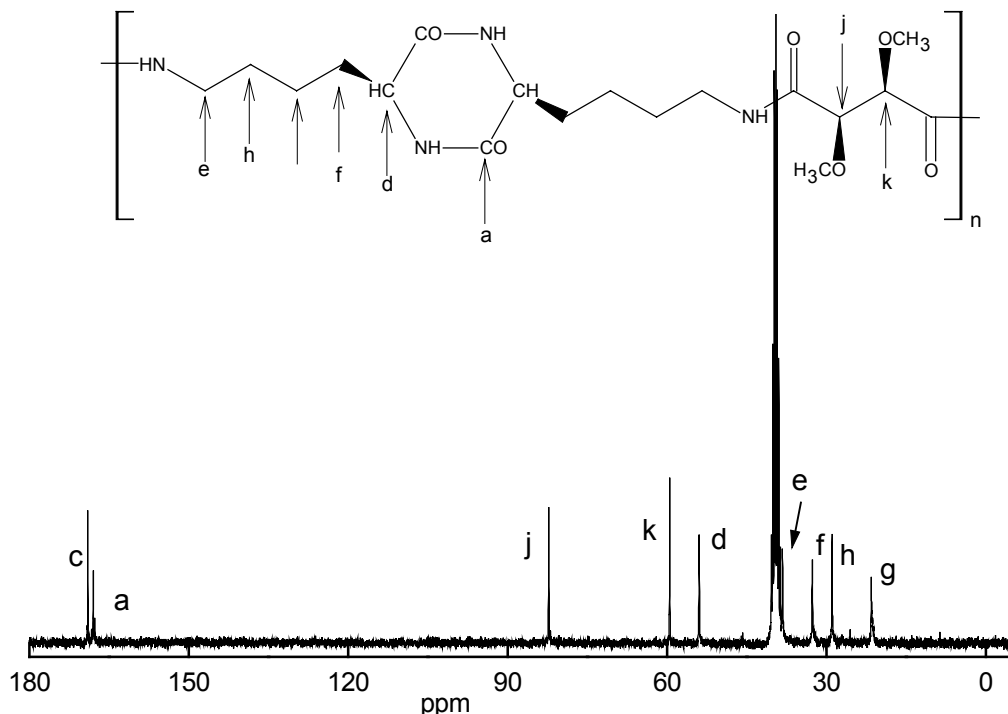


Figura 10.53. Espectro de ^{13}C -RMN de la poliamida PDK-LL con $\text{DMSO}-d_6$.

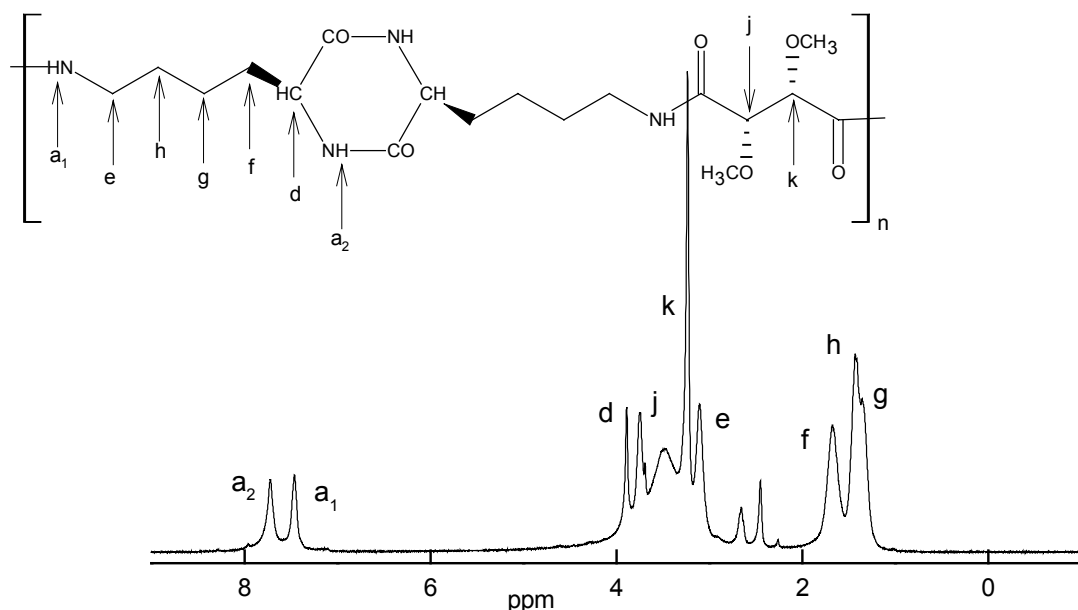


Figura 10.54. Espectro de ^1H -RMN de la poliamida PDK-LD con $\text{DMSO}-d_6$.

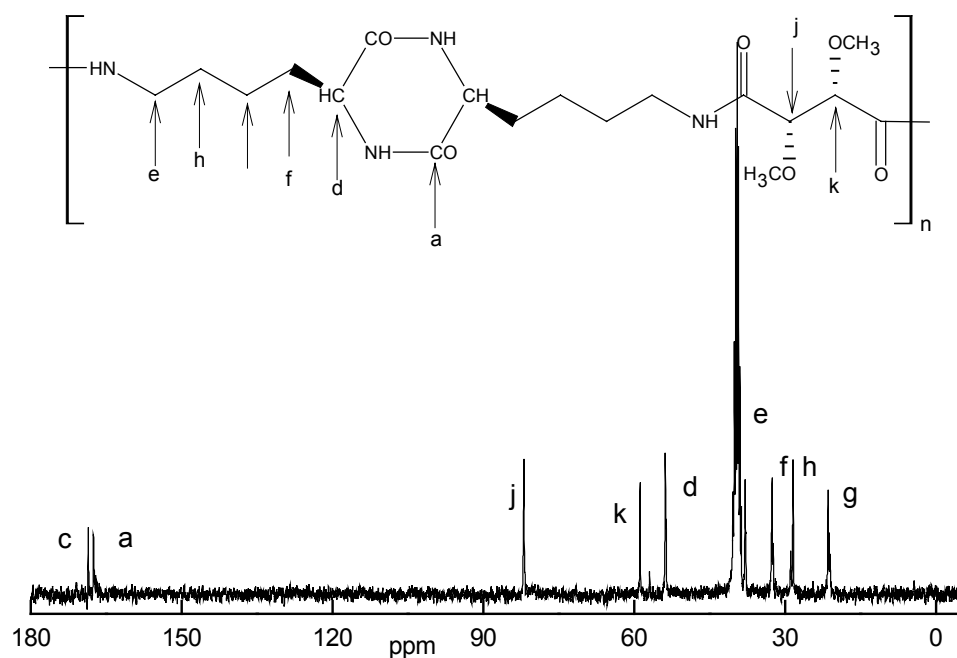
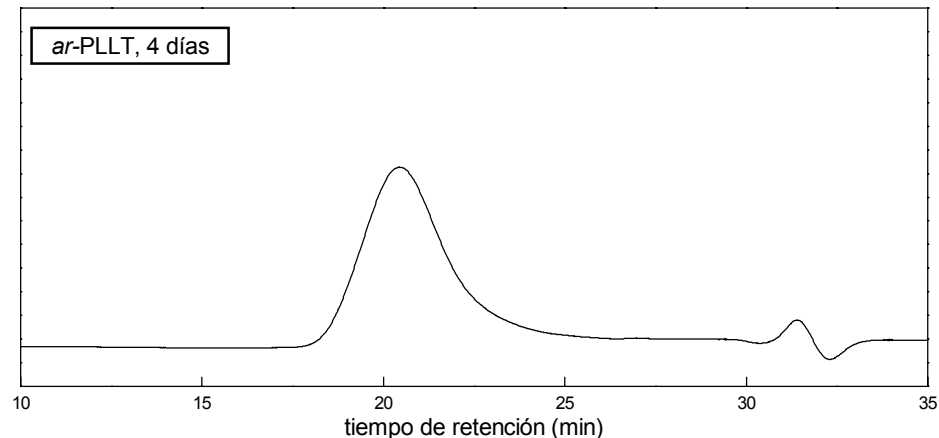
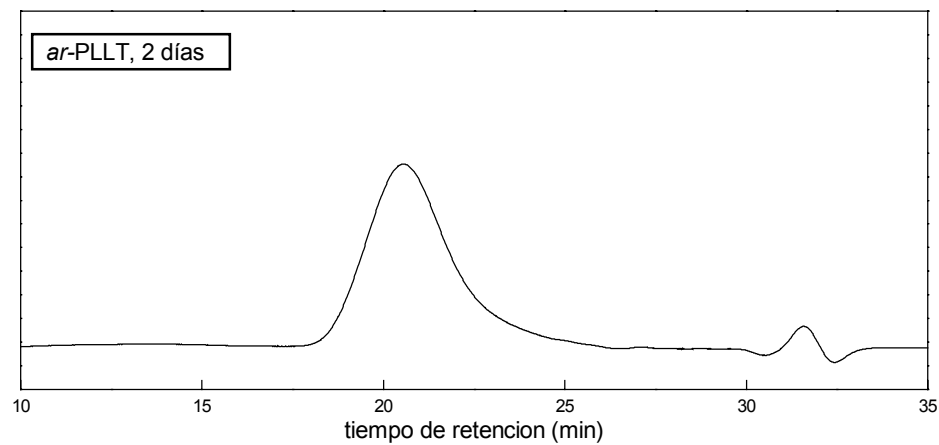
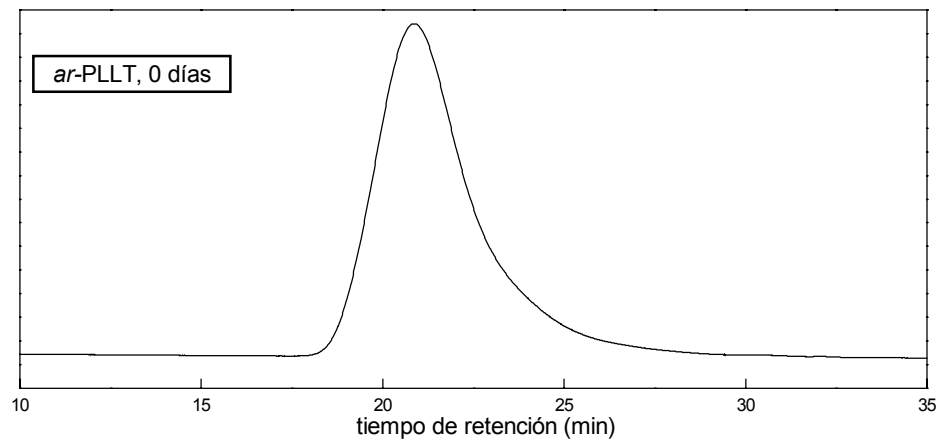
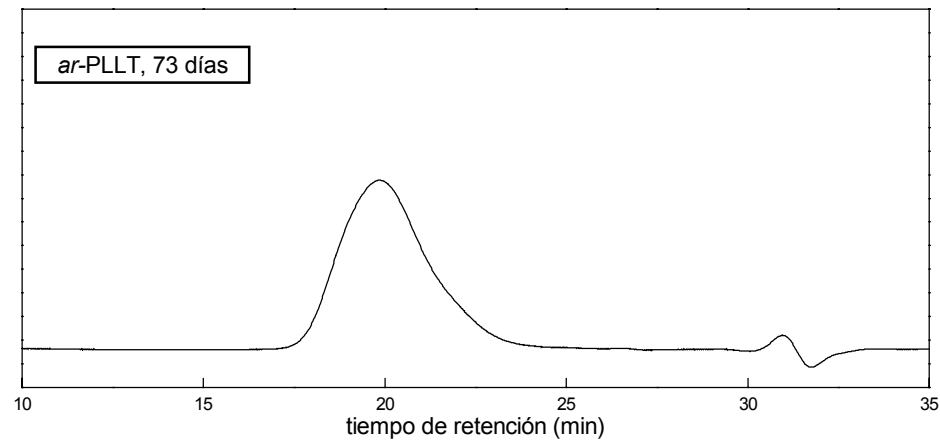
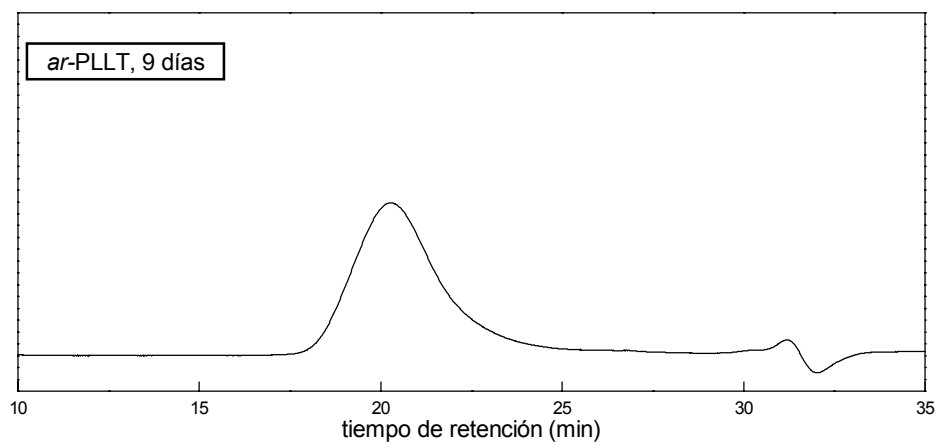


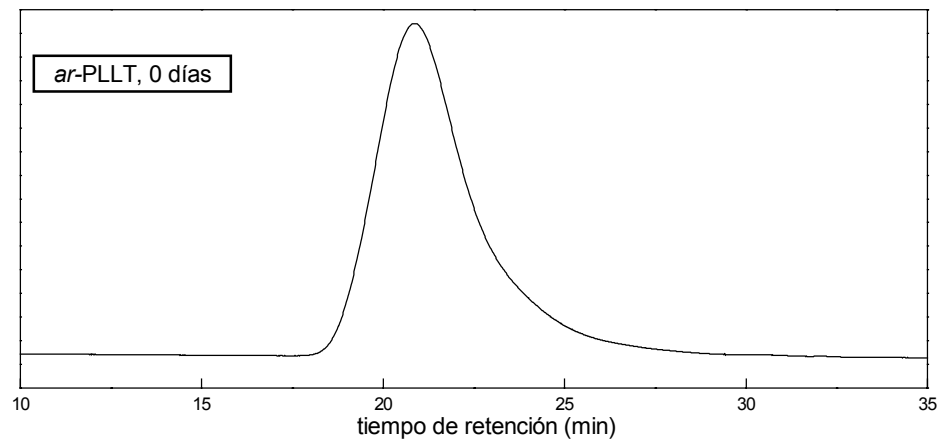
Figura 10.55. Espectro de ^{13}C -RMN de la poliamida PDK-LD con $\text{DMSO}-d_6$.

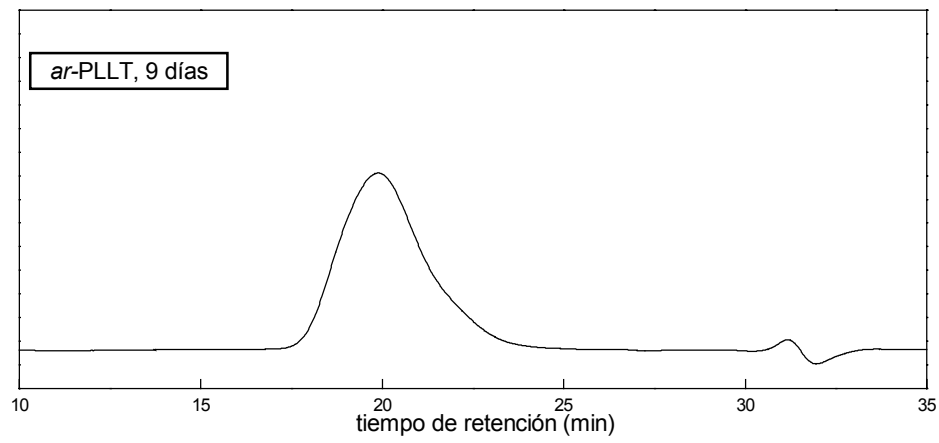
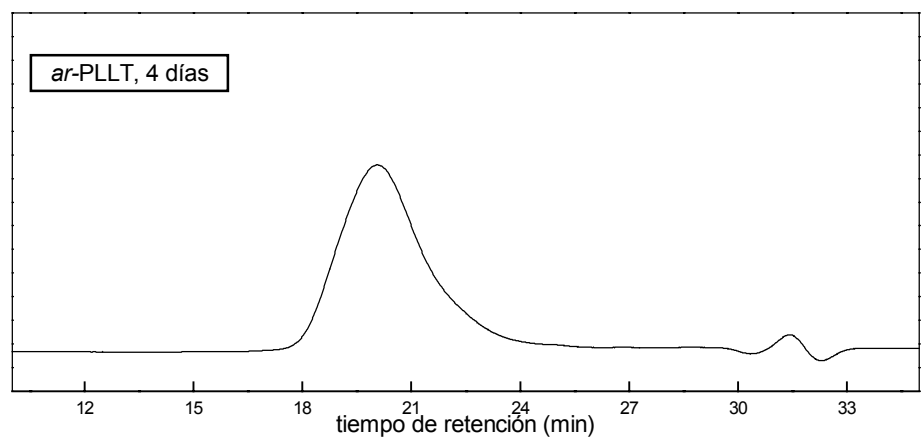
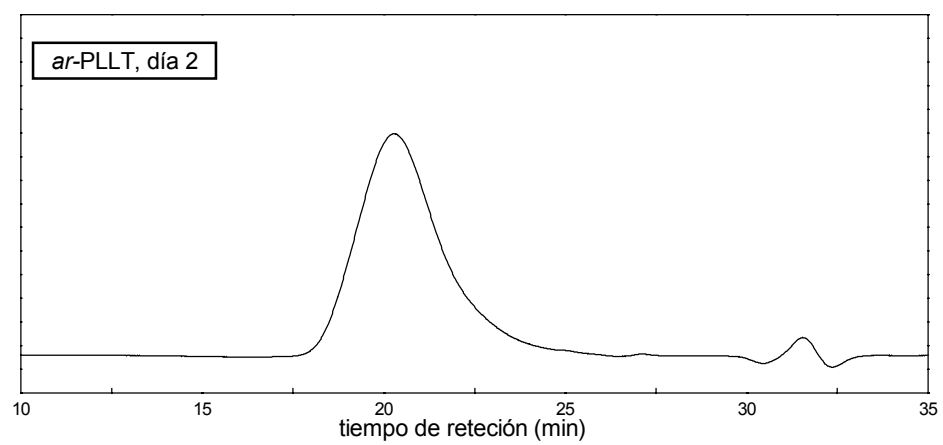
10.9 CROMATOGRAMAS DEGRADACIÓN POLIAMIDA *ar*-PLLT

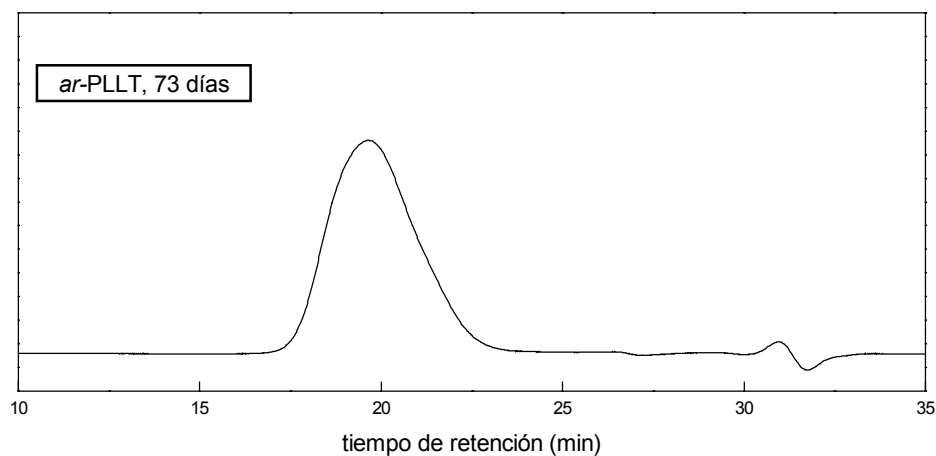
Cromatograma degradación de poliamida ar-PLLT A 25 °C.



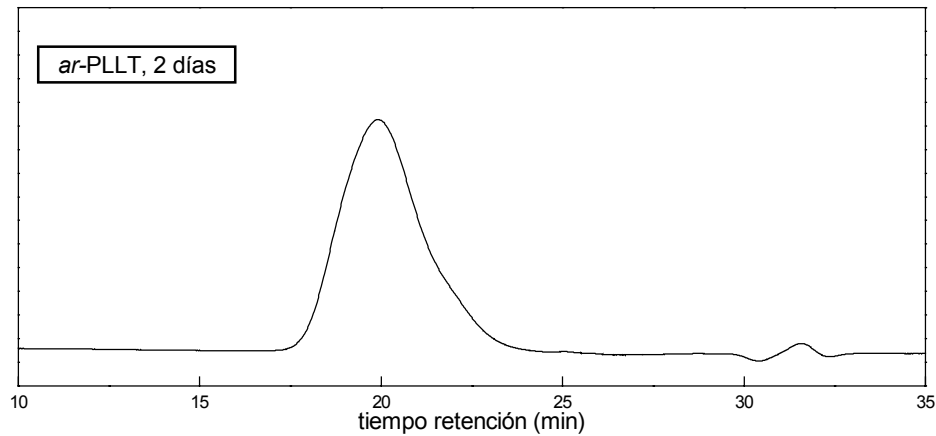
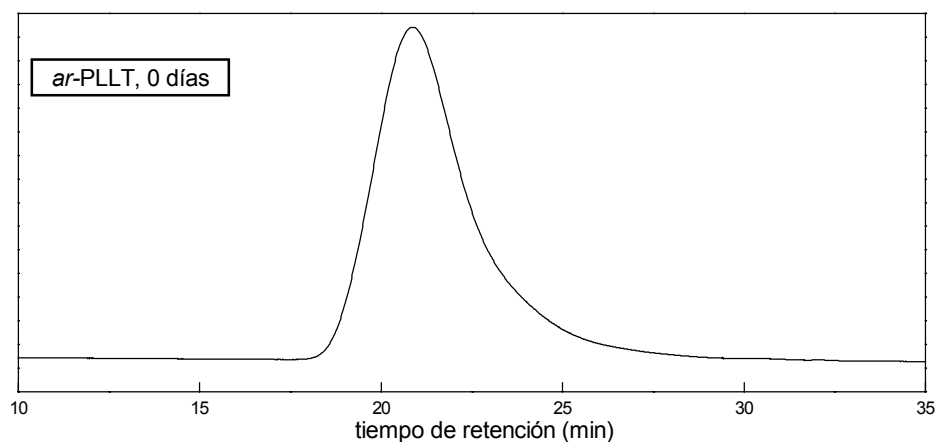
Cromatograma de degradación de poliamida ar-PLLT a 37 °C.

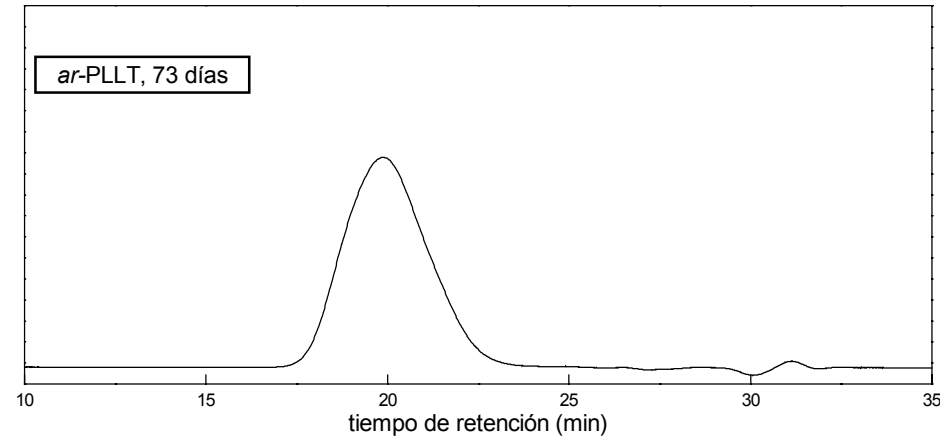
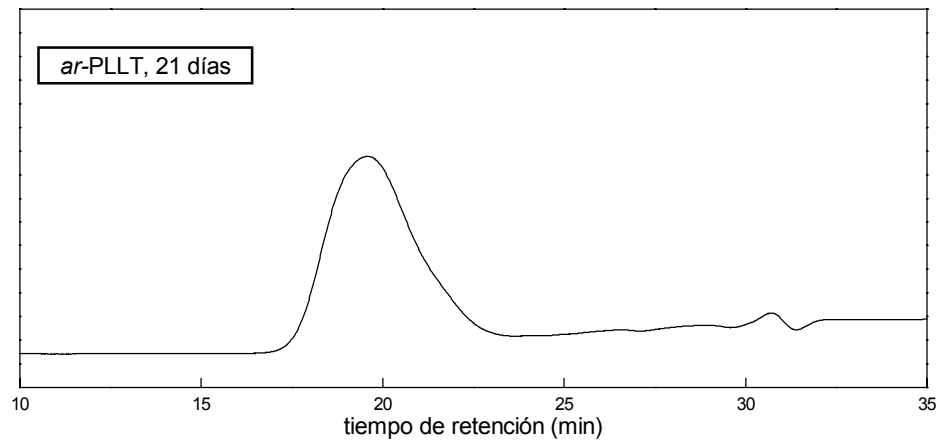
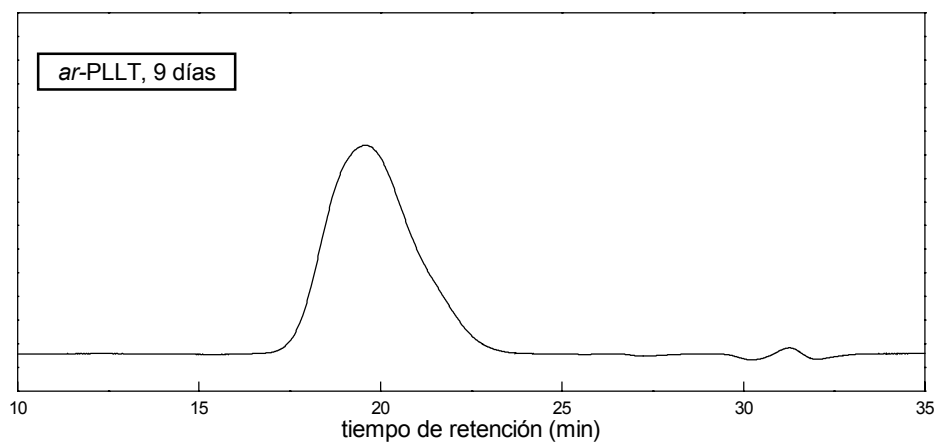


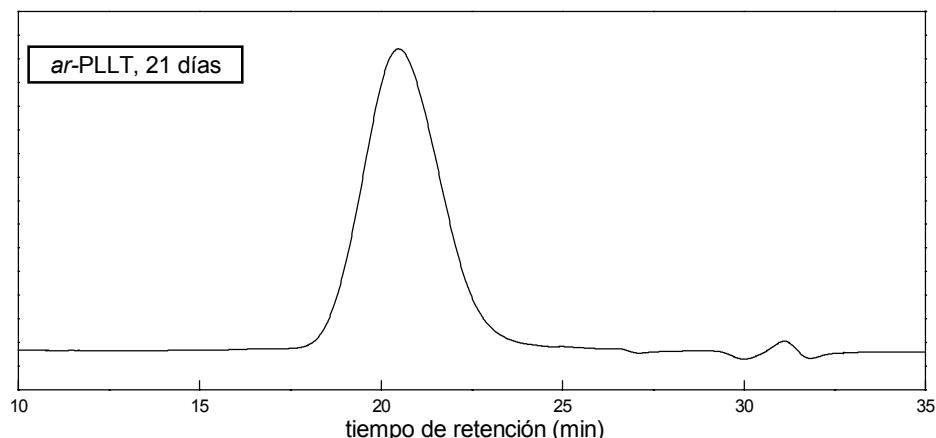
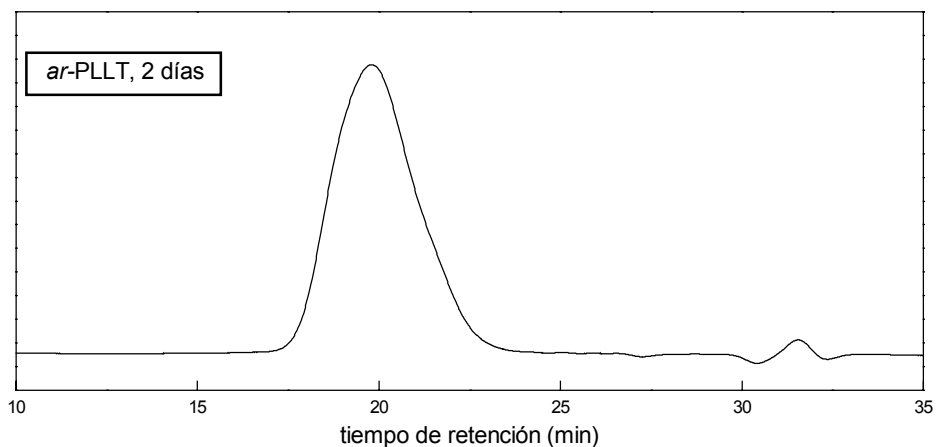
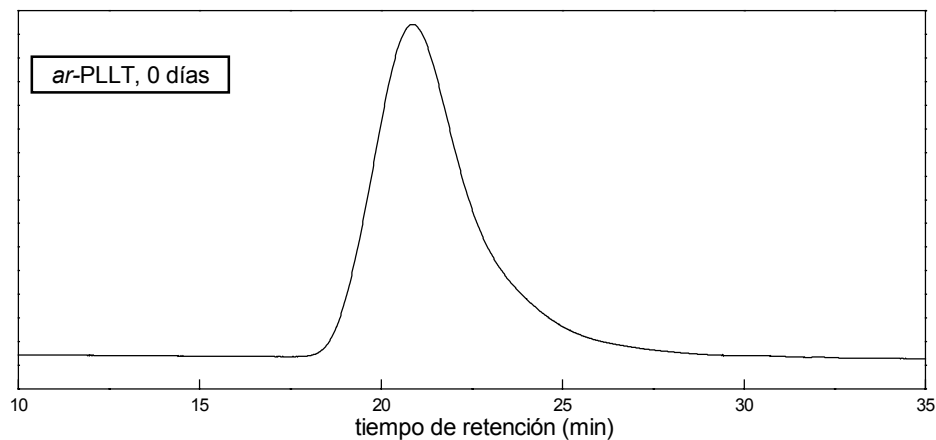


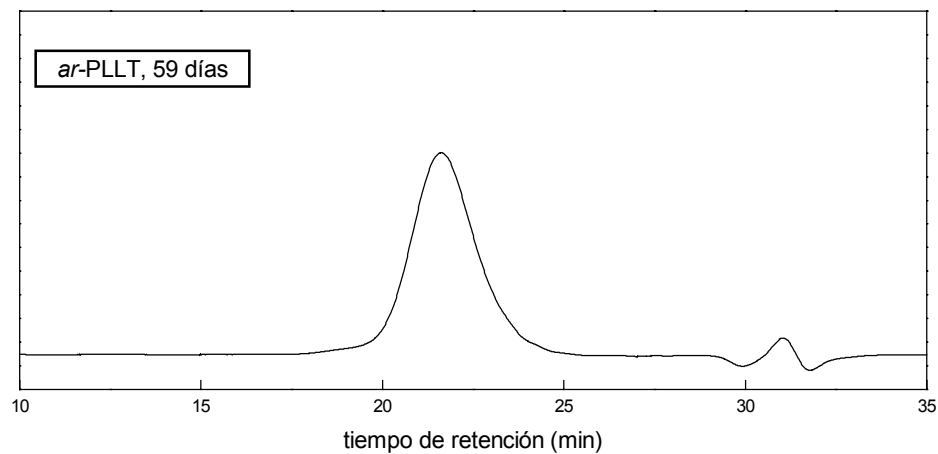
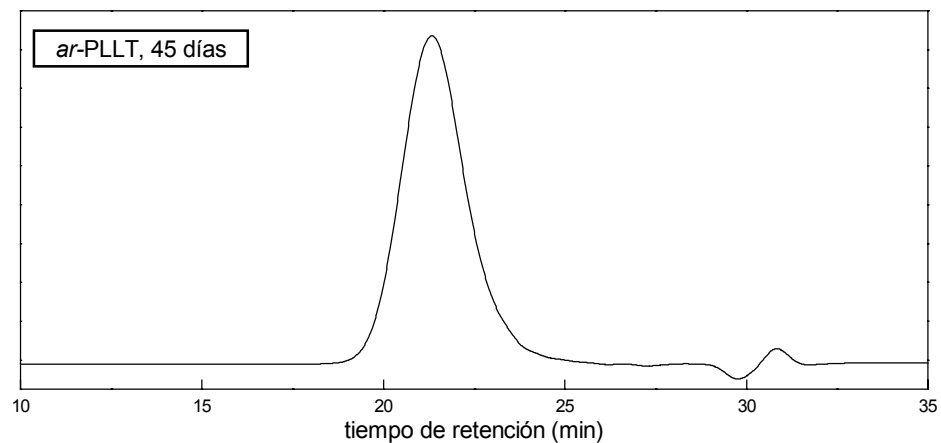


Cromatograma de degradación de poliamida ar-PLLT a 60 °C.

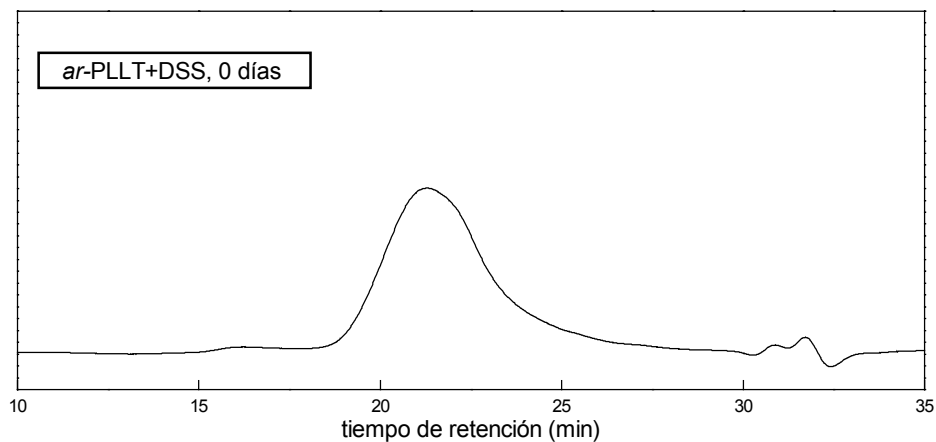


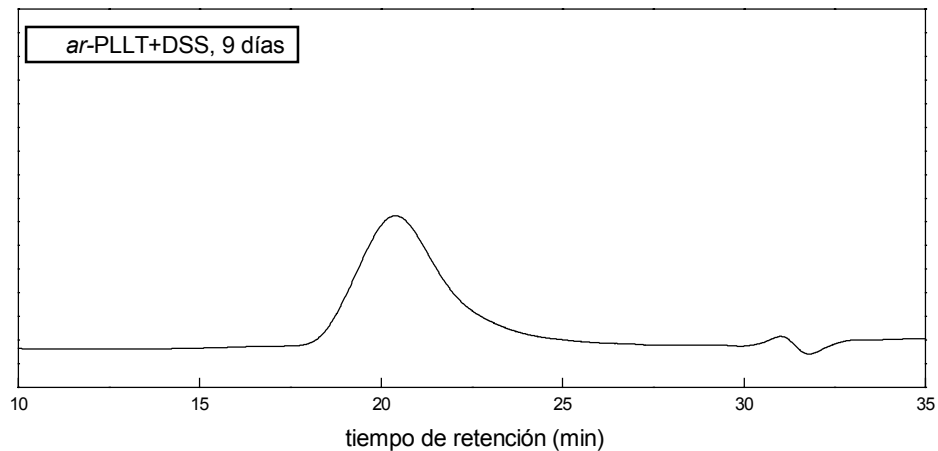
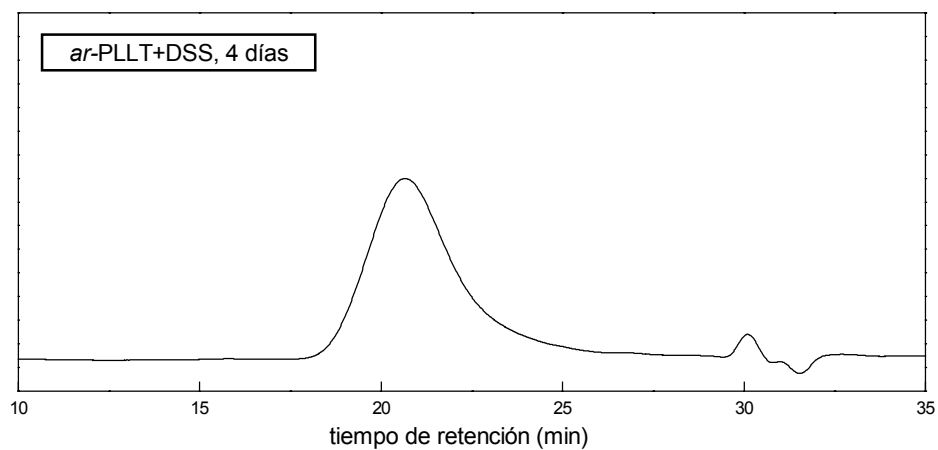
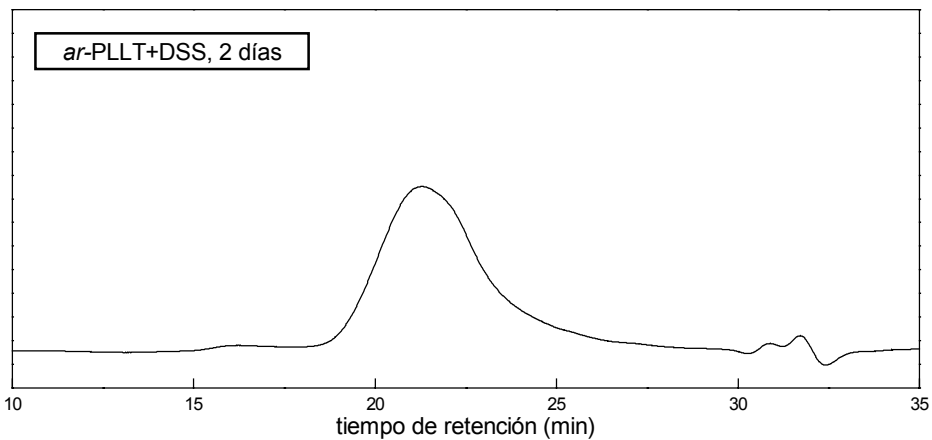


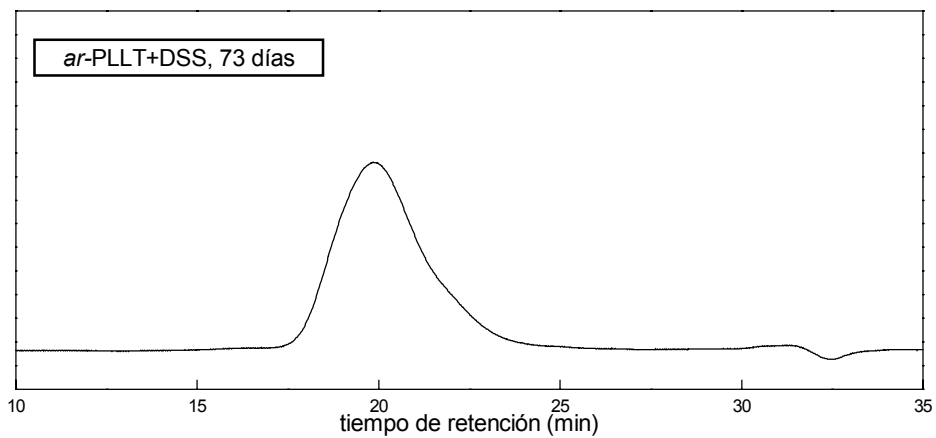
Cromatograma de degradación de poliamida ar-PLLT a 80 °C.



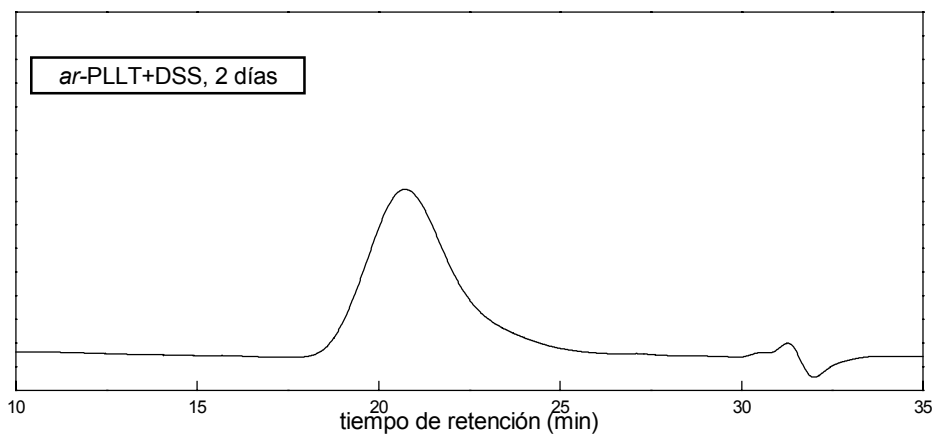
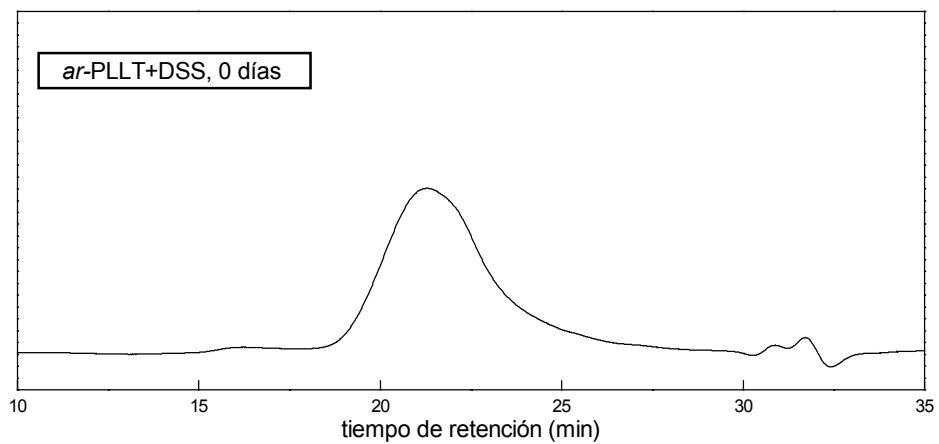
Cromatograma de degradación de poliamida ar-PLLT+DSS a 25 °C.

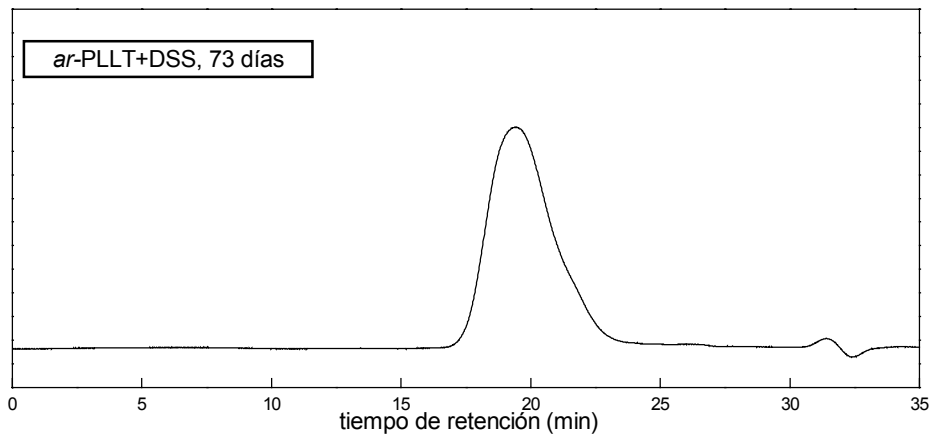
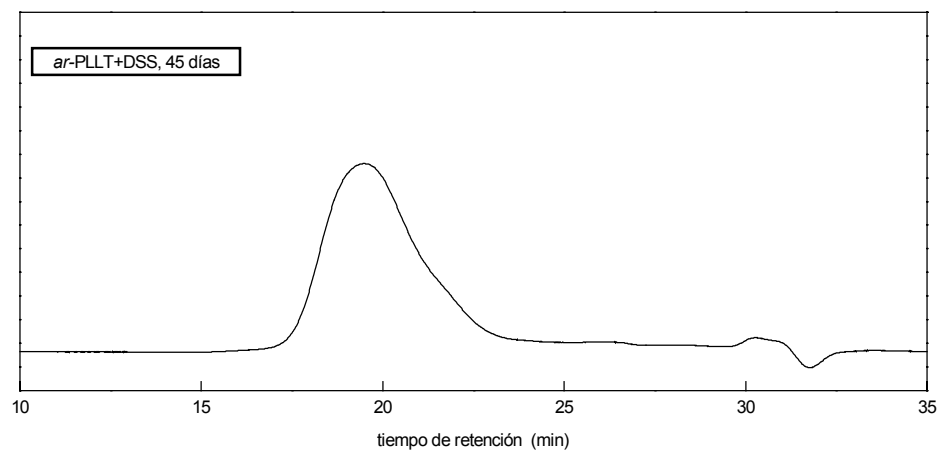
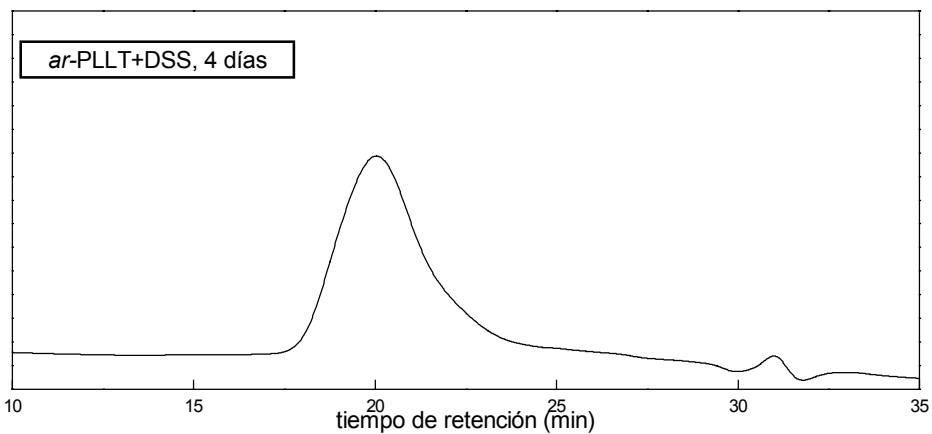


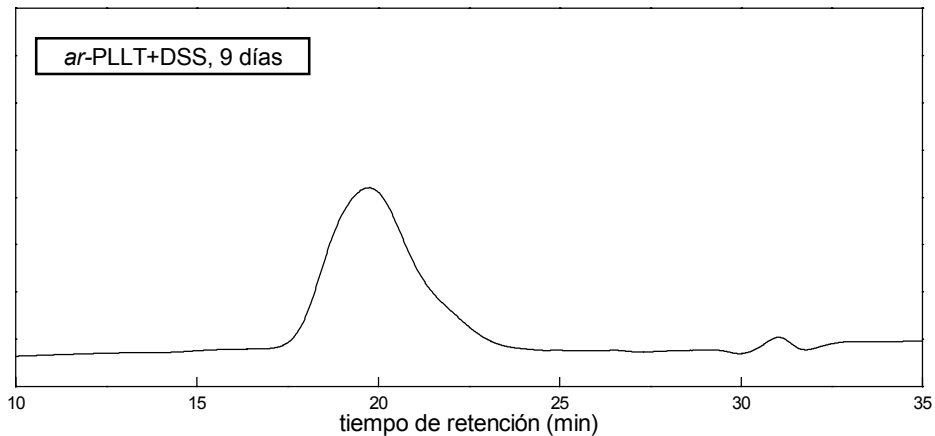
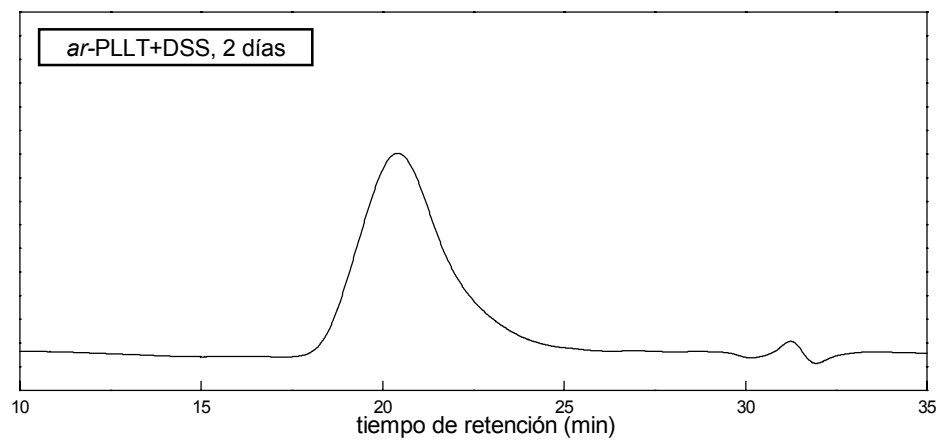
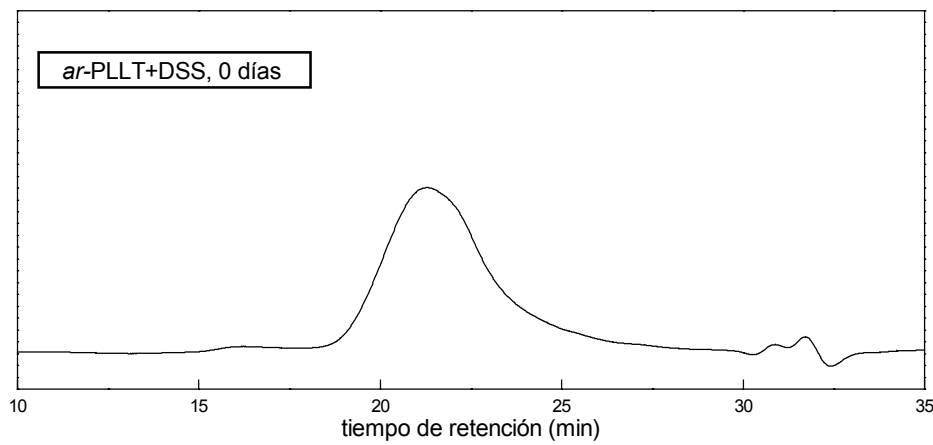


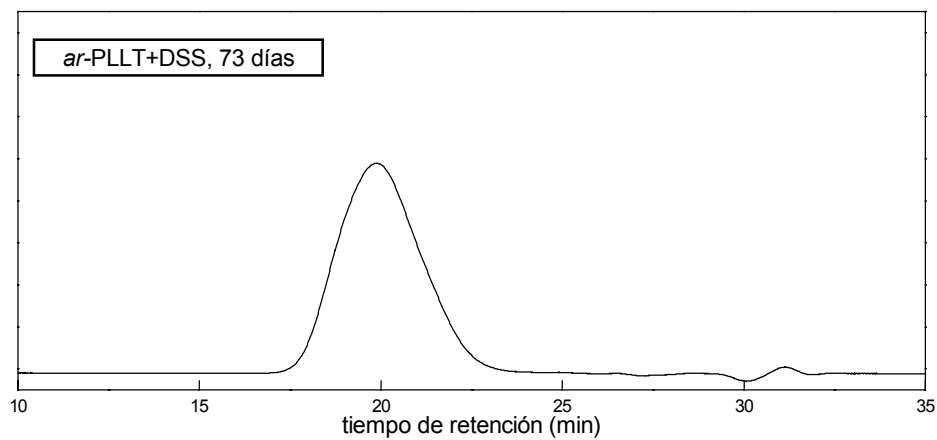
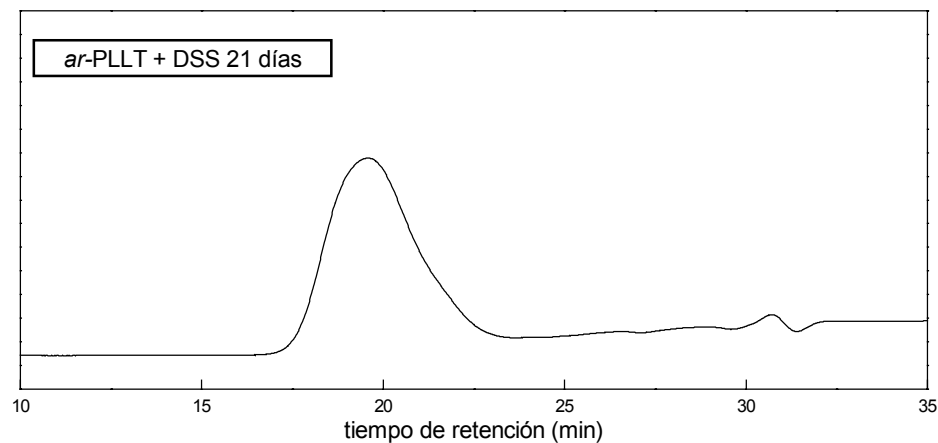


Cromatograma de degradación de poliamida ar-PLLT + DSS a 37°C.

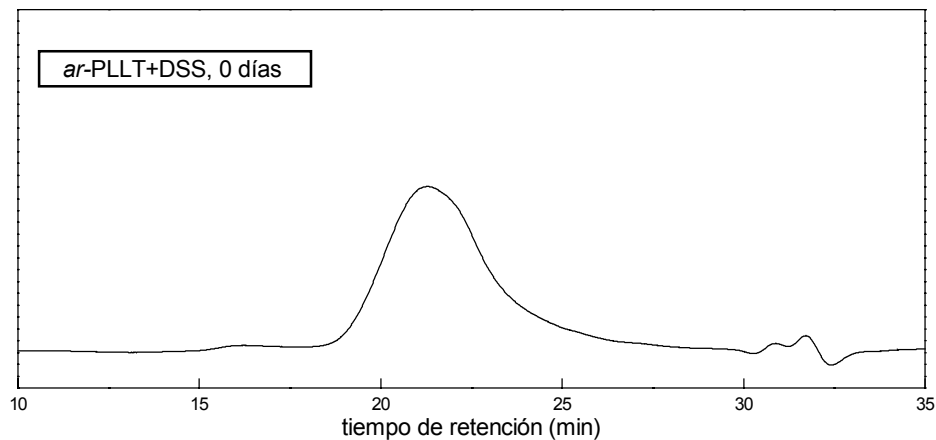


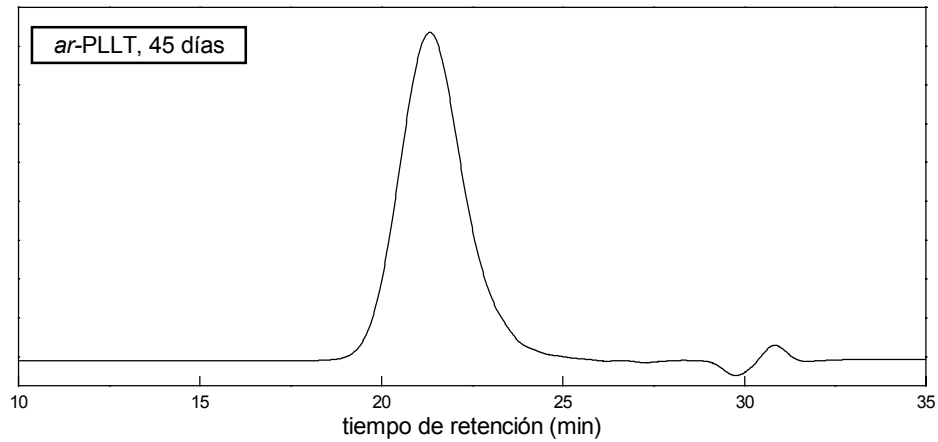
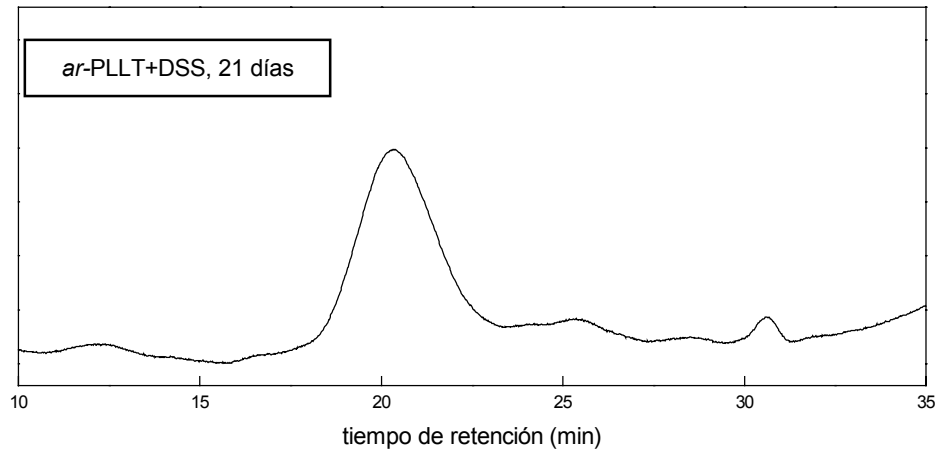
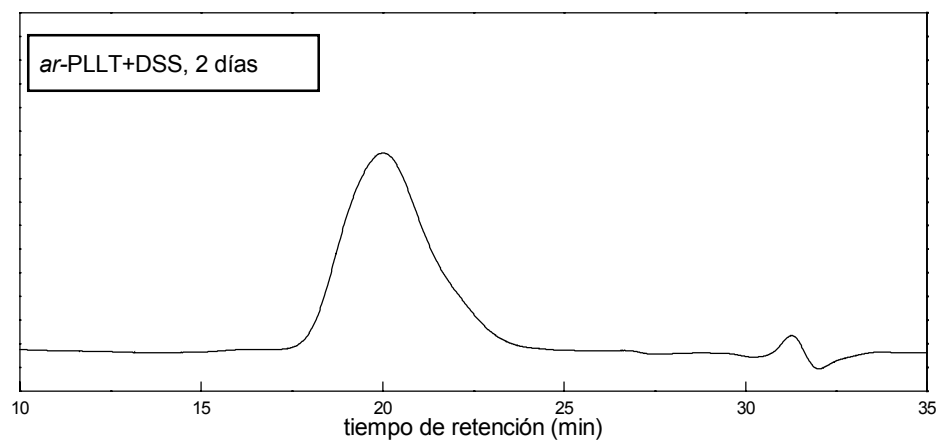


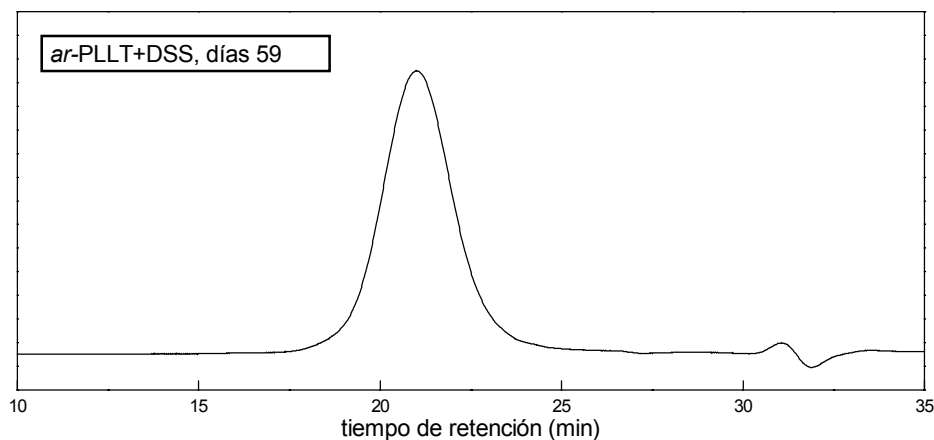
Cromatograma de degradación de poliamida ar-PLLT + DSS a 60 °C.



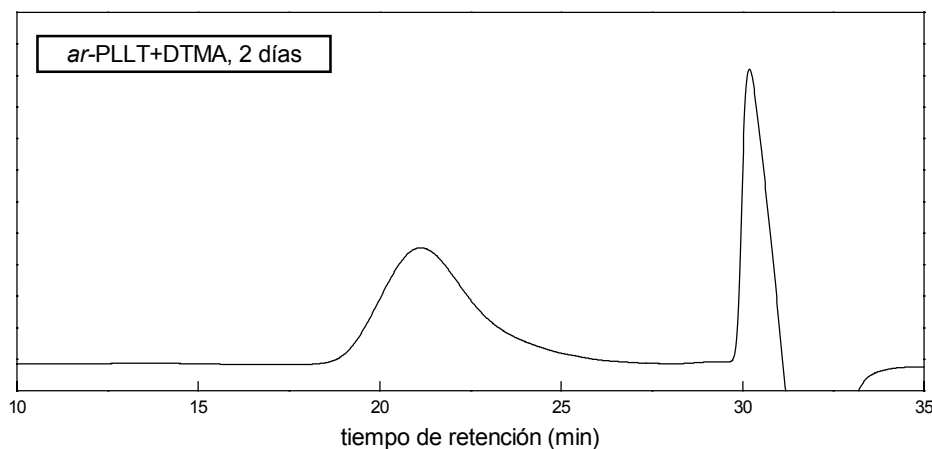
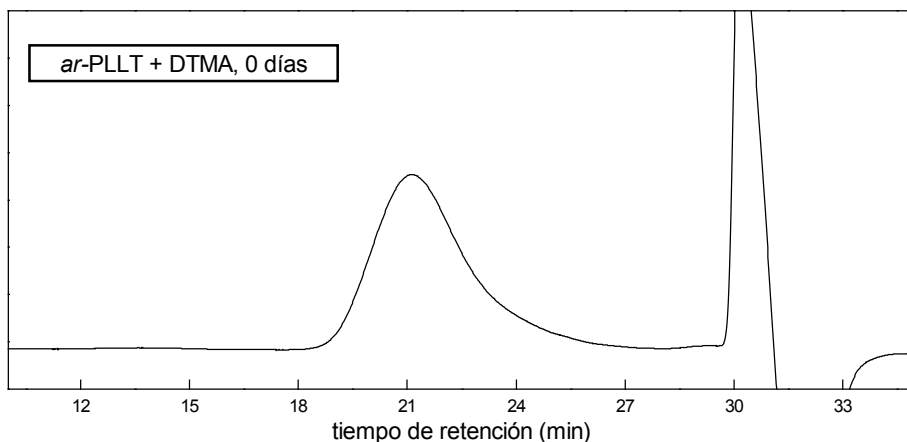
Cromatograma de degradación de poliamida ar-PLLT + DSS a 80 °C.

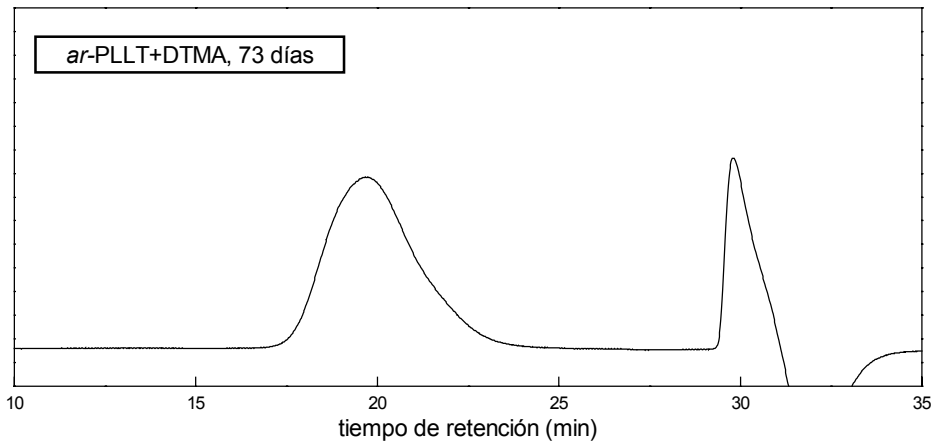
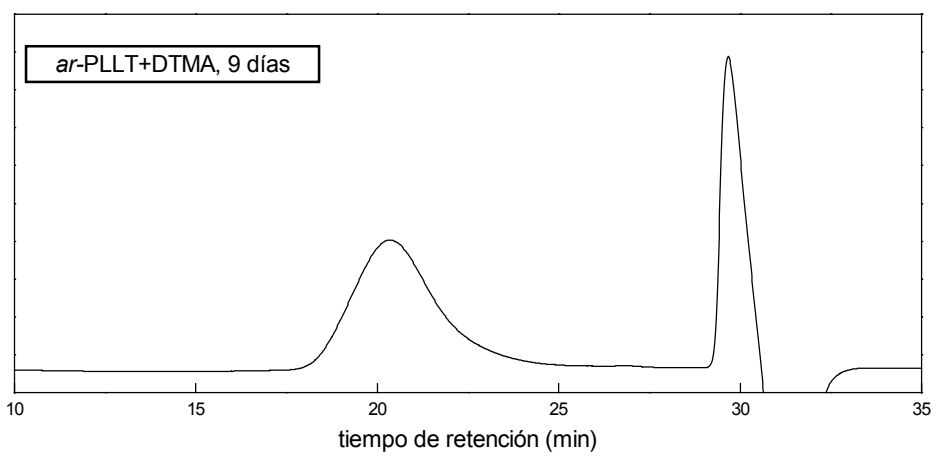
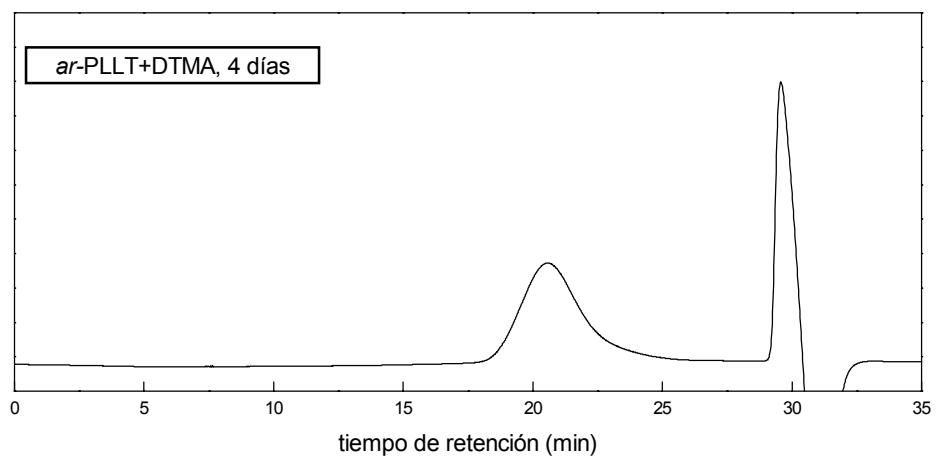


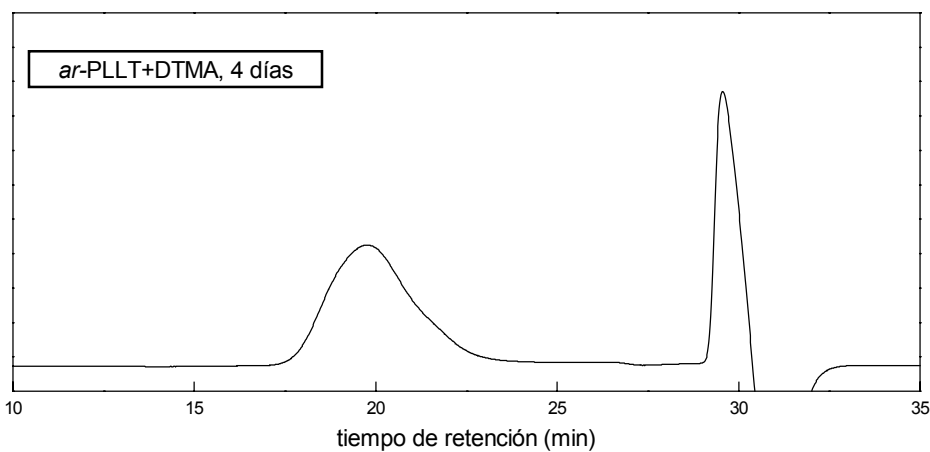
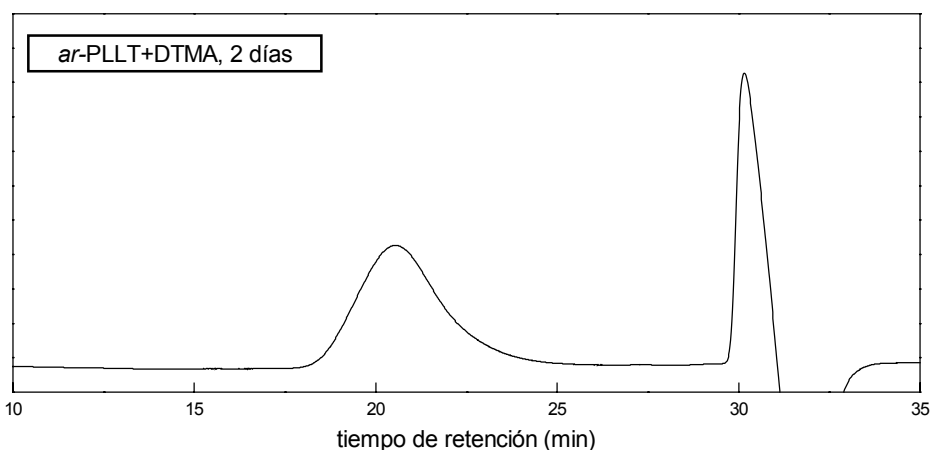
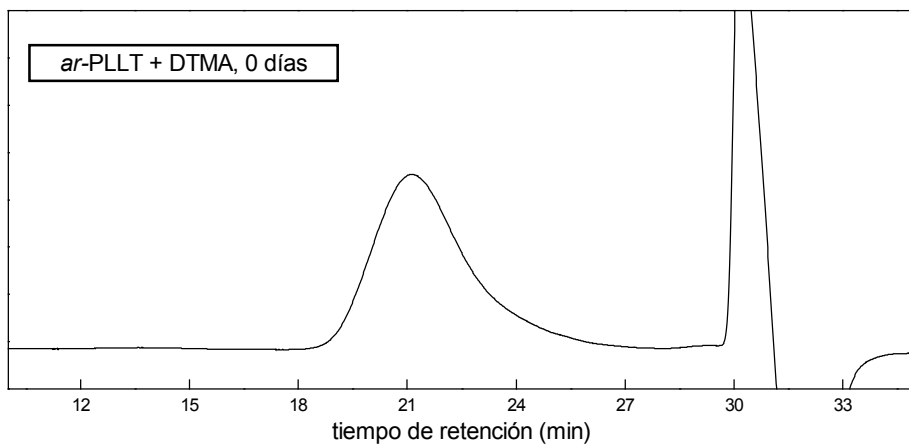


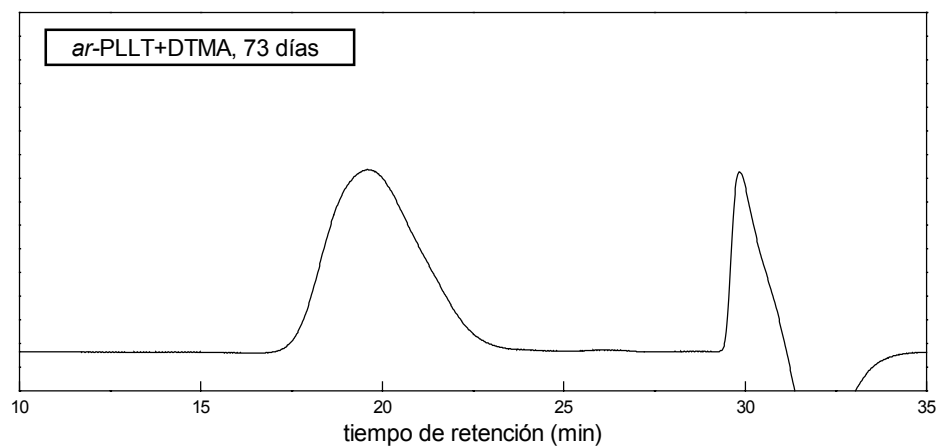
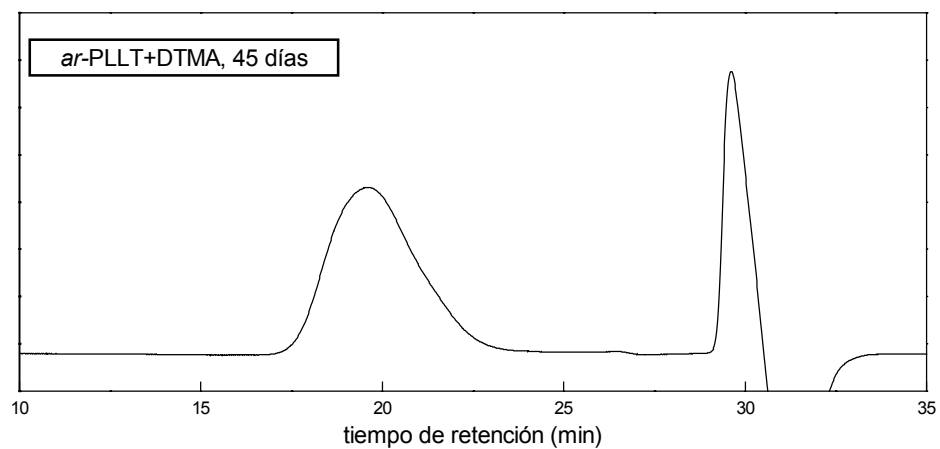


Cromatograma de degradación de poliamida ar-PLLT + DTMA a 25 °C.

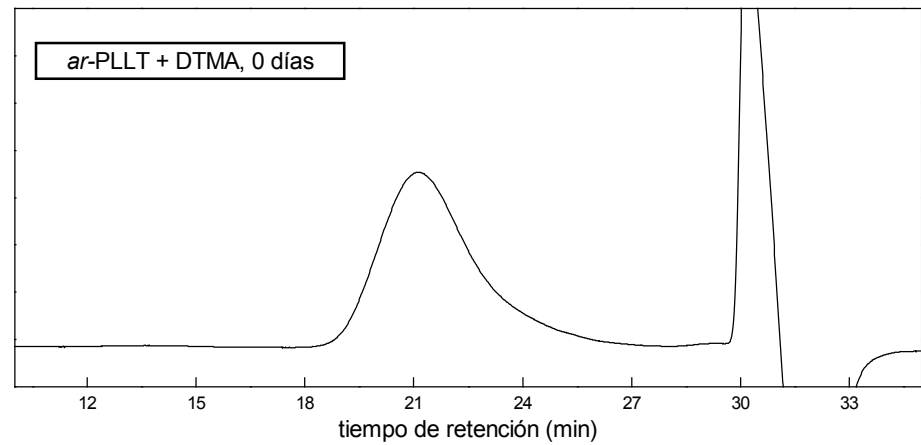


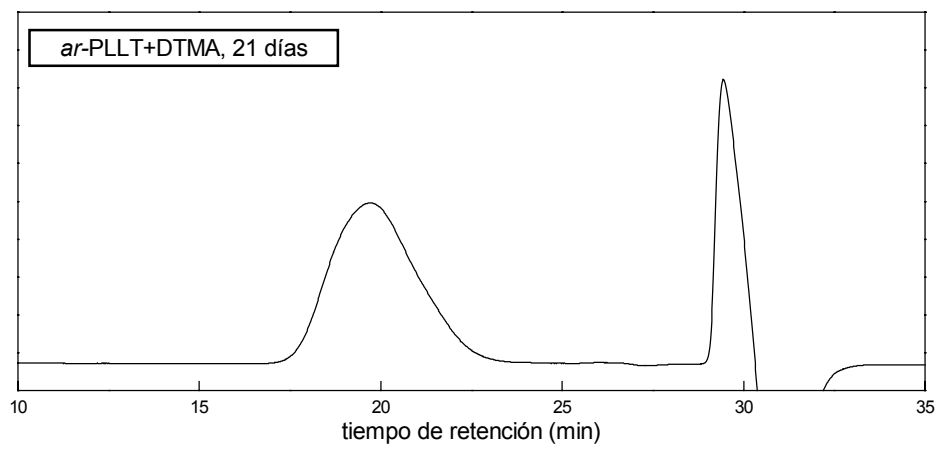
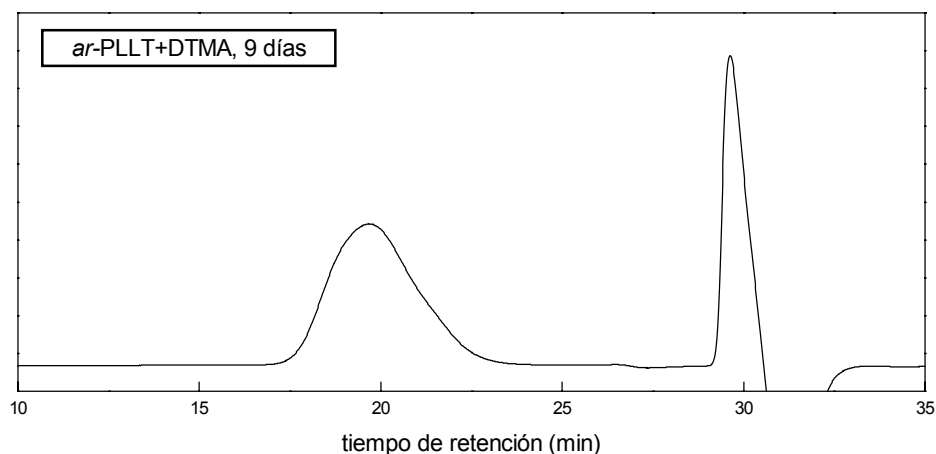
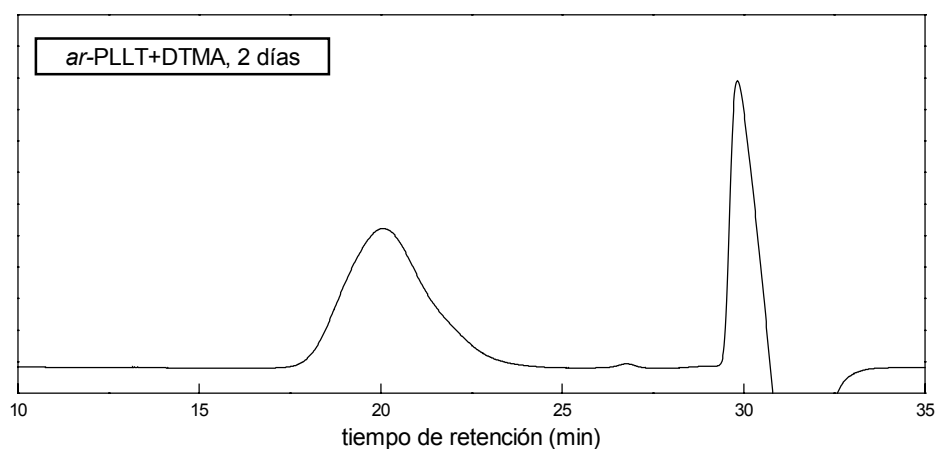


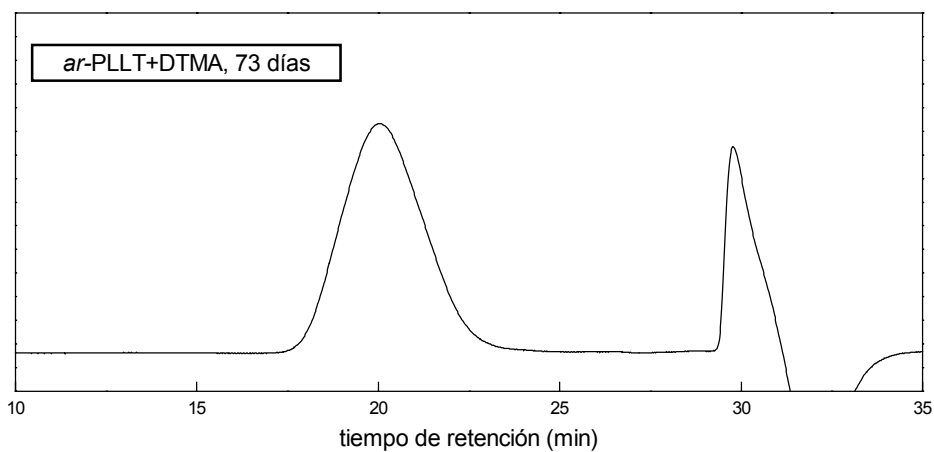
Cromatograma de degradación de poliamida ar-PLT + DTMA a 37 °C.



Cromatograma de degradación de poliamida ar-PLLT + DTMA a 60 °C.







Cromatograma de degradación de poliamida ar-PLLT + DTMA a 80 °C.

